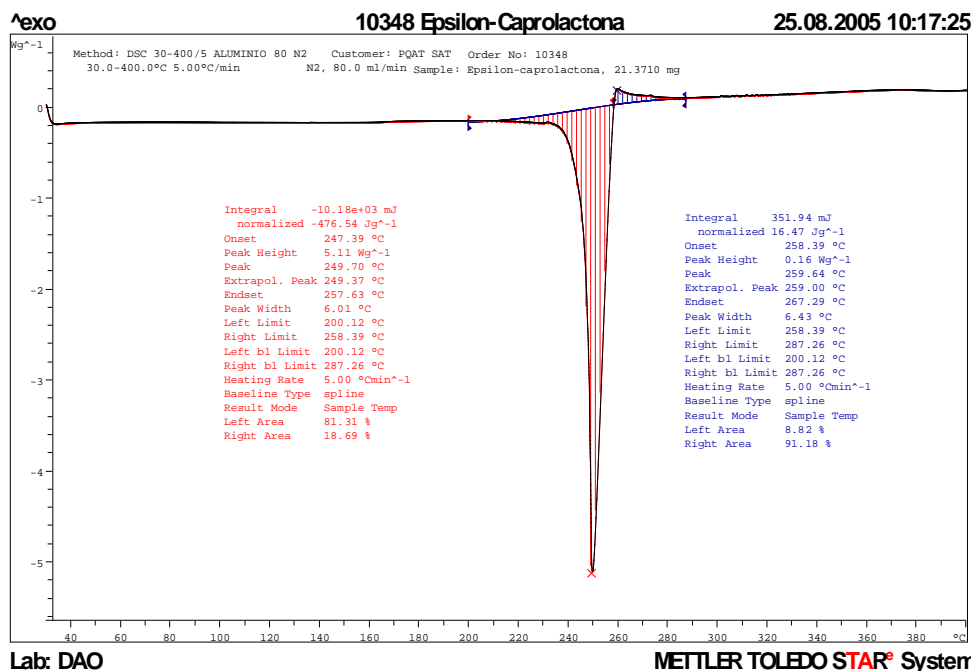
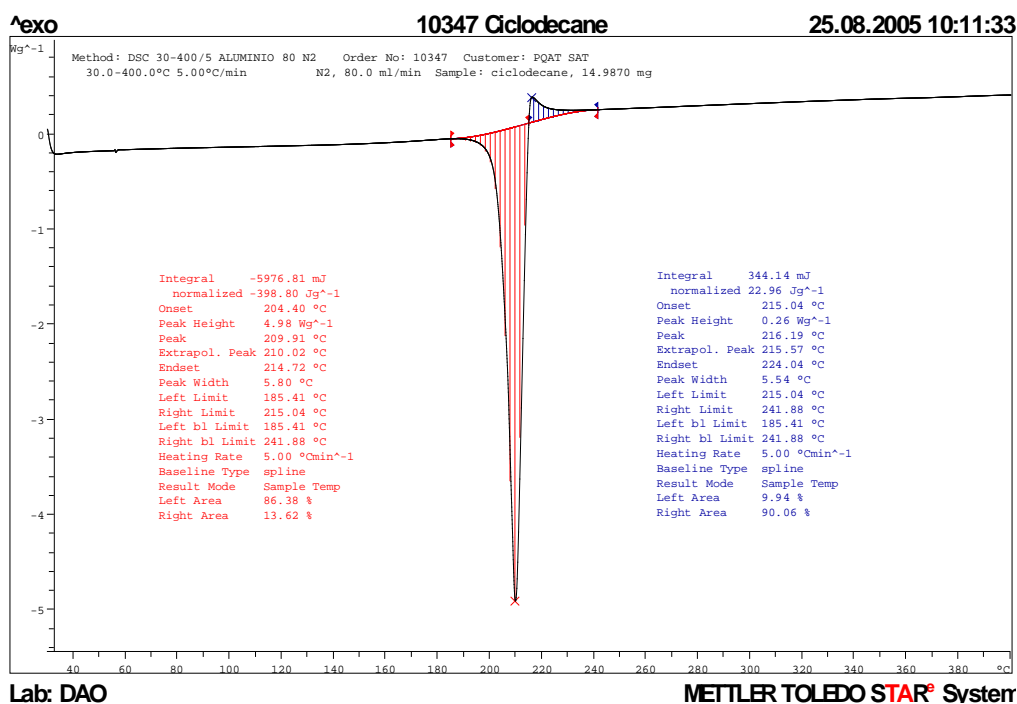


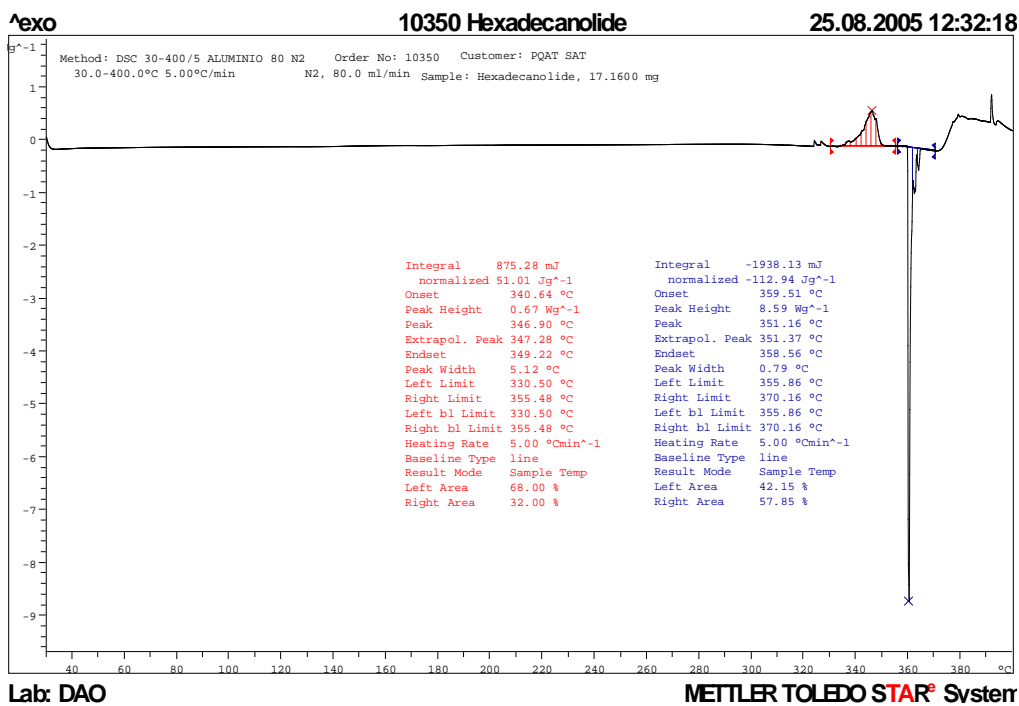
Anexo 1



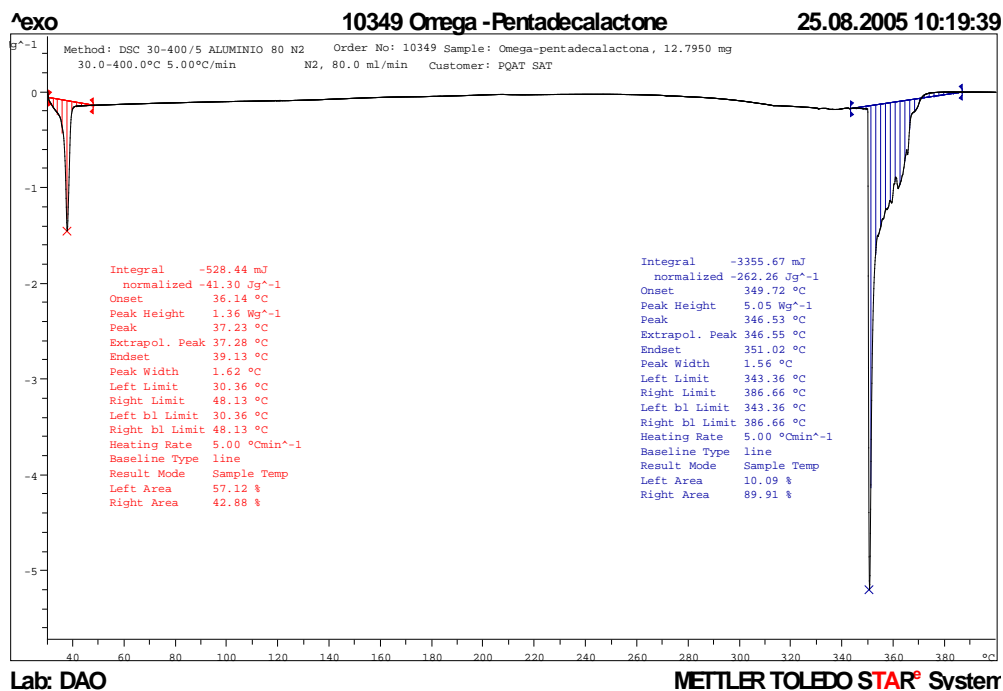
Registro 1.1.- Registro de DSC dinámico de 16-hexanolida (12), método 30-400°C velocidad de calentamiento 5°C/min en atmosfera de nitrógeno, caudal 80ml/min, en crisol de aluminio.



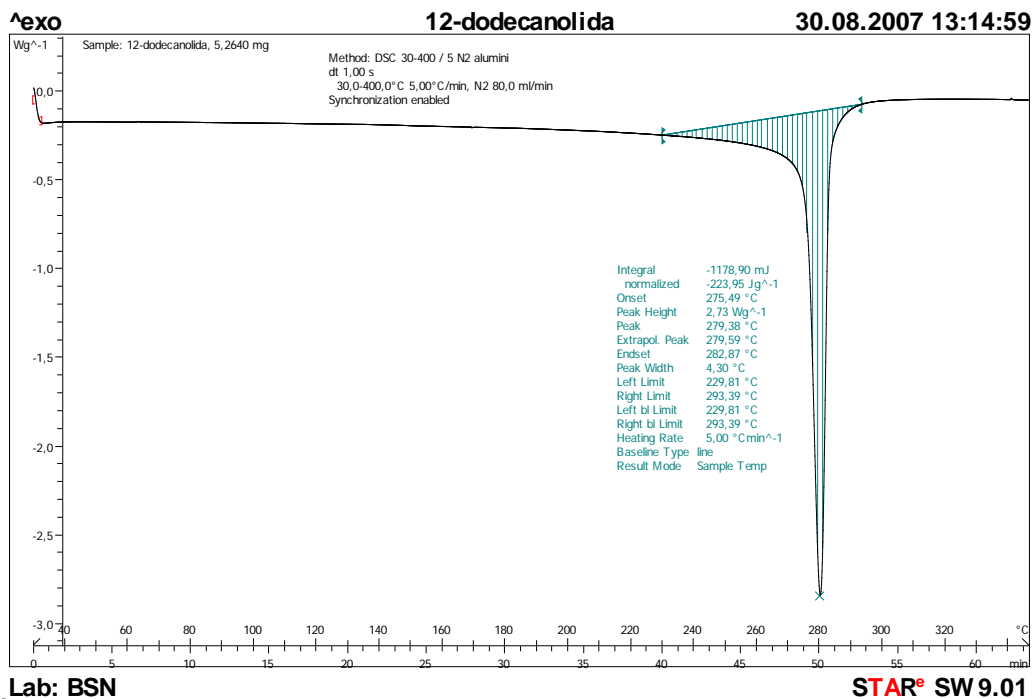
Registro 1.2.- Registro de DSC dinámico de Ciclododecano (16), método 30-400°C velocidad de calentamiento 5°C/min en atmosfera de nitrógeno, caudal 80ml/min, en crisol de aluminio.



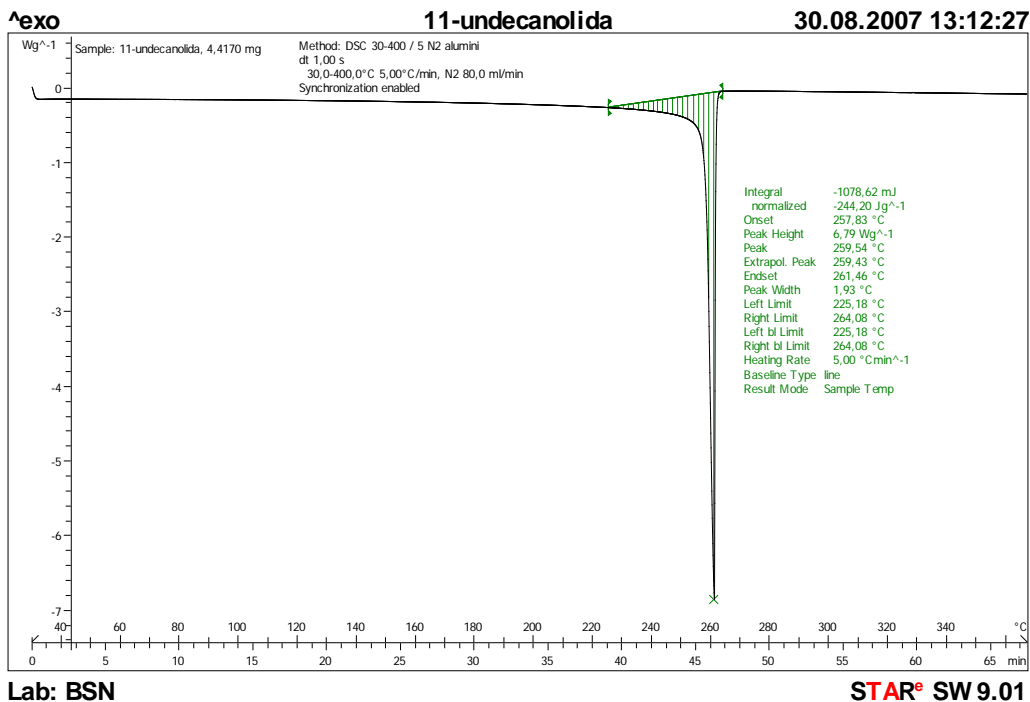
Registro 1.3.- Registro de DSC dinámico de 6-hexadecanolida (7), método 30-400°C velocidad de calentamiento 5°C/min en atmosfera de nitrógeno, caudal 80ml/min, en crisol de aluminio.



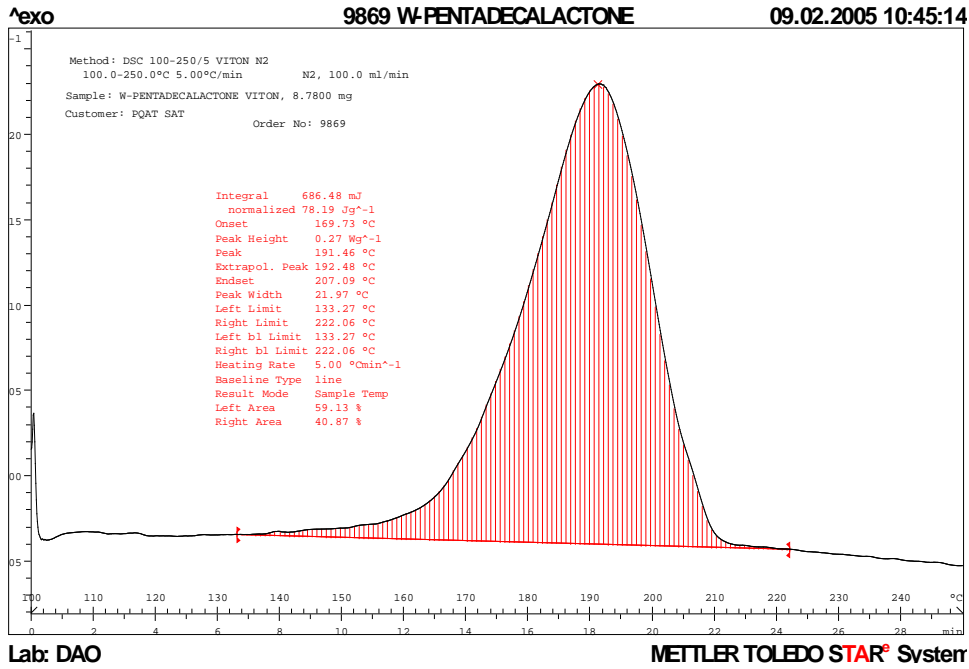
Registro 1.4.- Registro de DSC dinámico de 15-pentadecanolida (13), método 30-400°C velocidad de calentamiento de 5°C/min en atmosfera de nitrógeno, caudal 80ml/min, en crisol aluminio



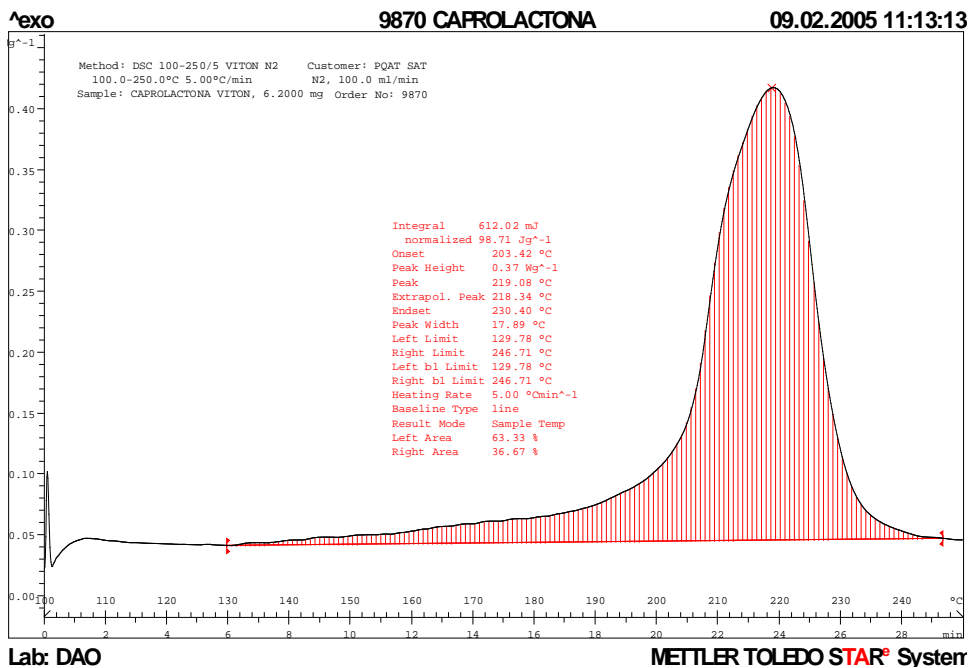
Registro 1.5.- Registro de DSC dinámico de 12-dodecanolida (15), método 30-400°C velocidad de calentamiento 5°C/min en atmosfera de nitrógeno, caudal 80ml/min, en crisol de aluminio.



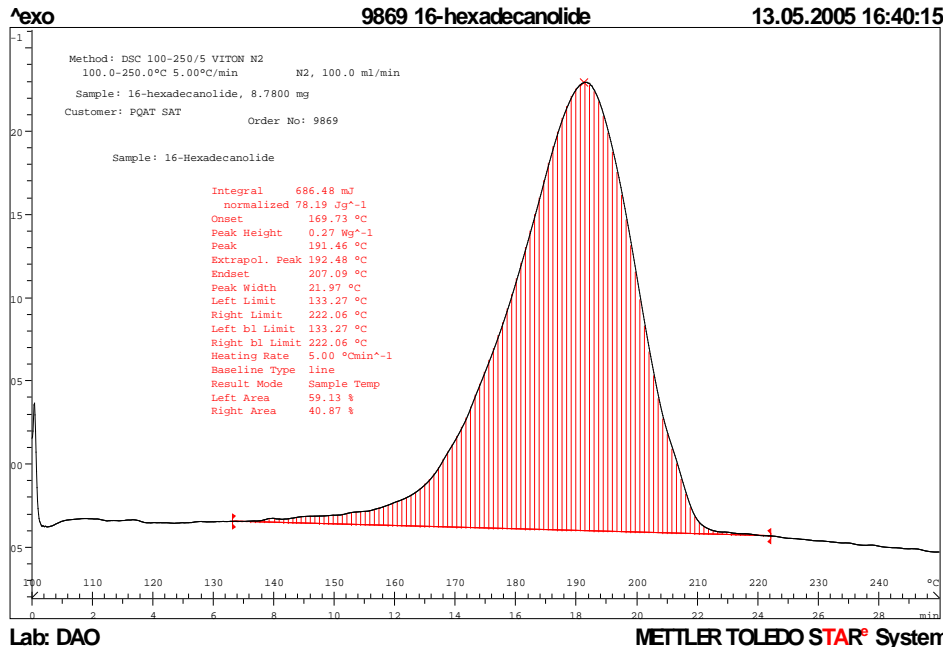
Registro 1.6.- Registro de DSC dinámico de 11-undecanolida (17), método 30-400°C velocidad de calentamiento 5°C/min en atmosfera de nitrógeno, caudal 80ml/min, en crisol de aluminio.



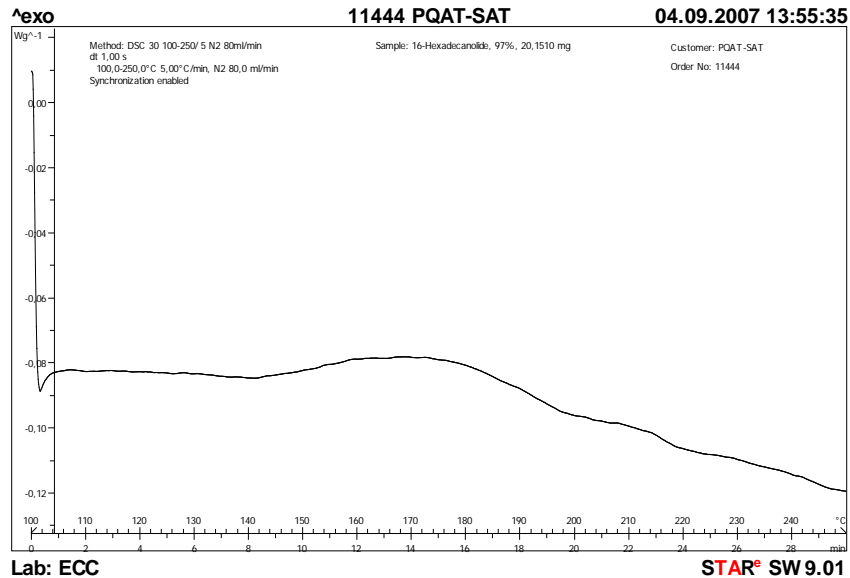
Registro 1.7.- Registro de DSC dinámico de 15-pentadecanolida (13), método 100-250°C velocidad de calentamiento 5°C/min en atmosfera de nitrógeno, caudal 80ml/min, en crisol de acero de media presión.



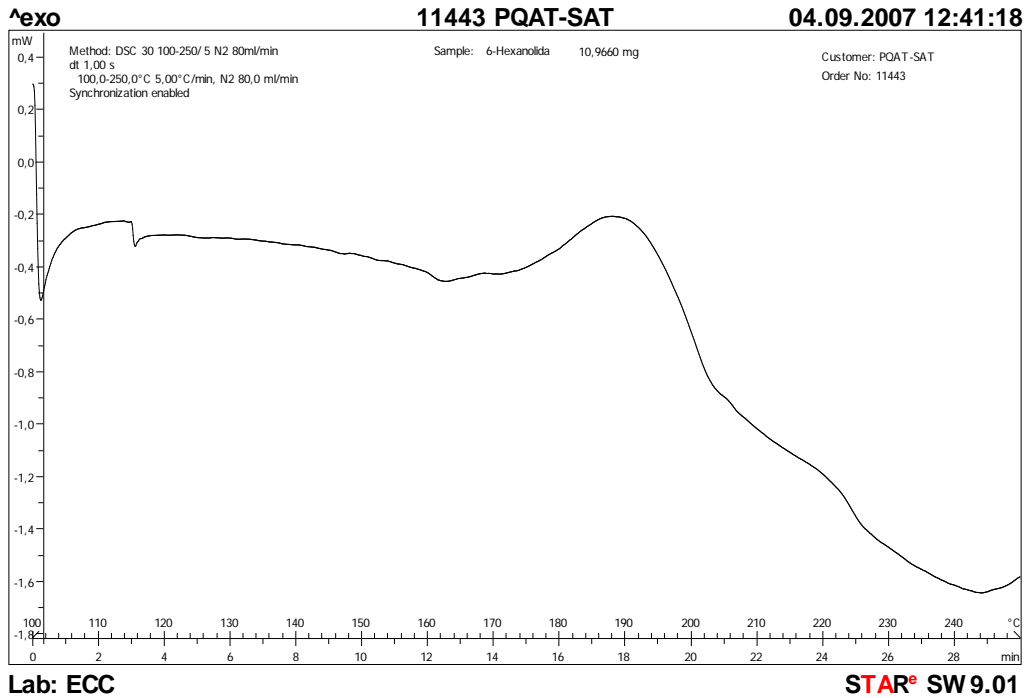
Registro 1.8.- Registro de DSC dinámico de 6-hexanolida, método 100-250°C velocidad de calentamiento 5°C/min en atmosfera de nitrógeno, caudal 80ml/min, en crisol de acero de media presión.



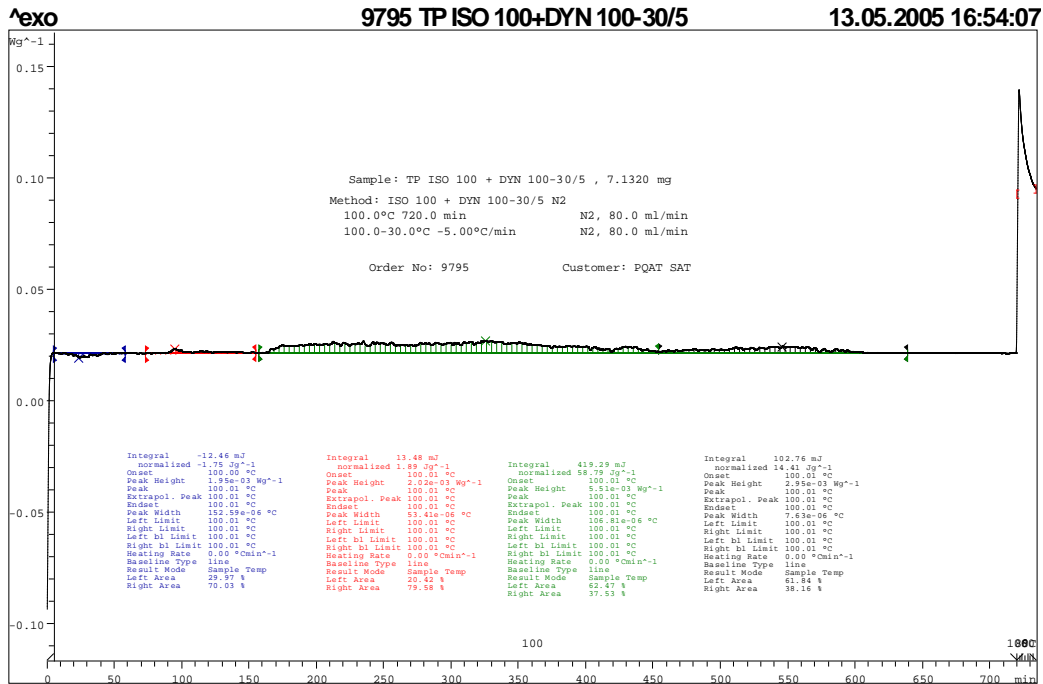
Registro 1.9.- Registro de DSC dinámico de 16-Hexadecanolida (7), método 100-250°C velocidad de calentamiento 5°C/min en atmosfera de nitrógeno, caudal 80ml/min, en crisol de acero de media presión.



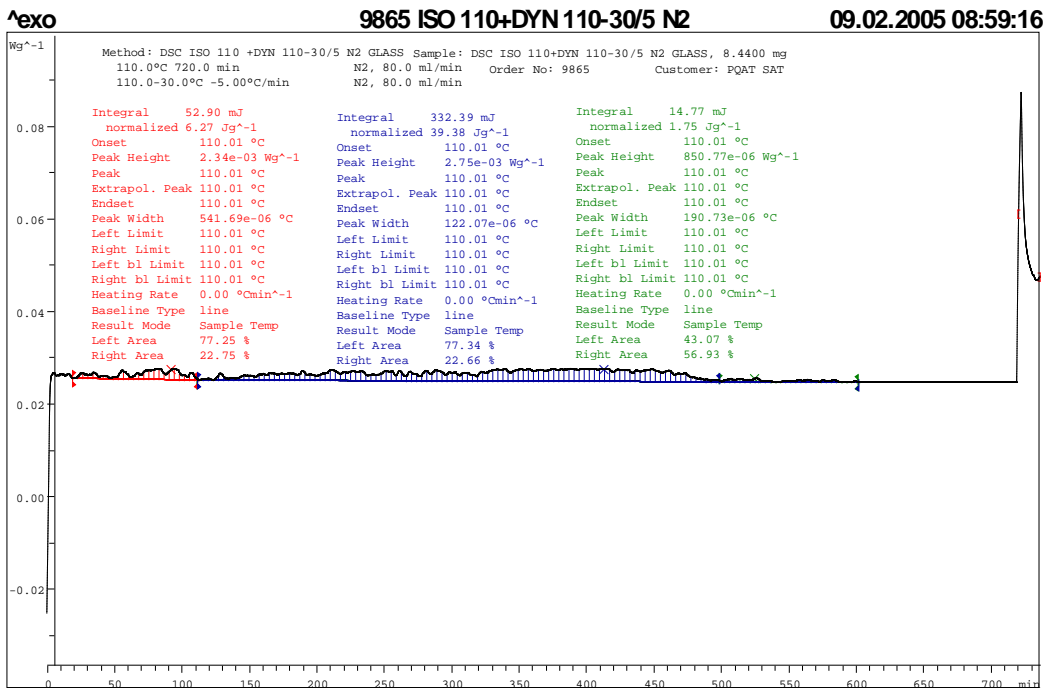
Registro 1.10.- Registro de DSC dinámico de 16-Hexadecanolida (7), método 100-250°C velocidad de calentamiento 5°C/min en atmosfera de nitrógeno, caudal 80ml/min, en crisol de acero de media presión.



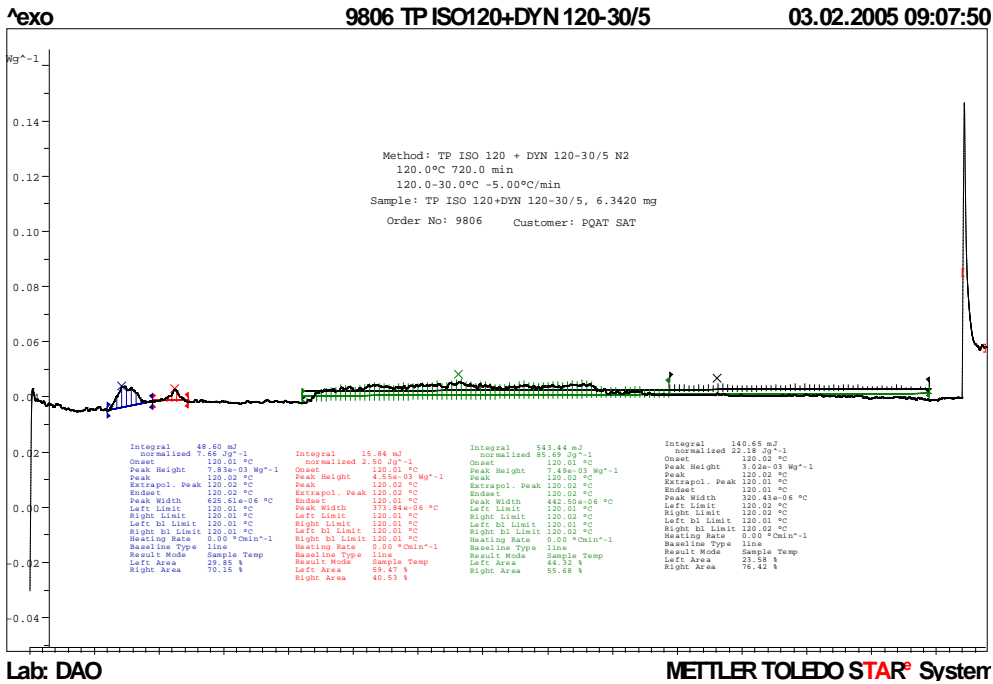
Registro 1.11.- Registro de DSC dinámico de 6-Hexanolida (**12**), método 100-250°C velocidad de calentamiento 5°C/min en atmosfera de nitrógeno, caudal 80ml/min, en crisol de acero de media presión.



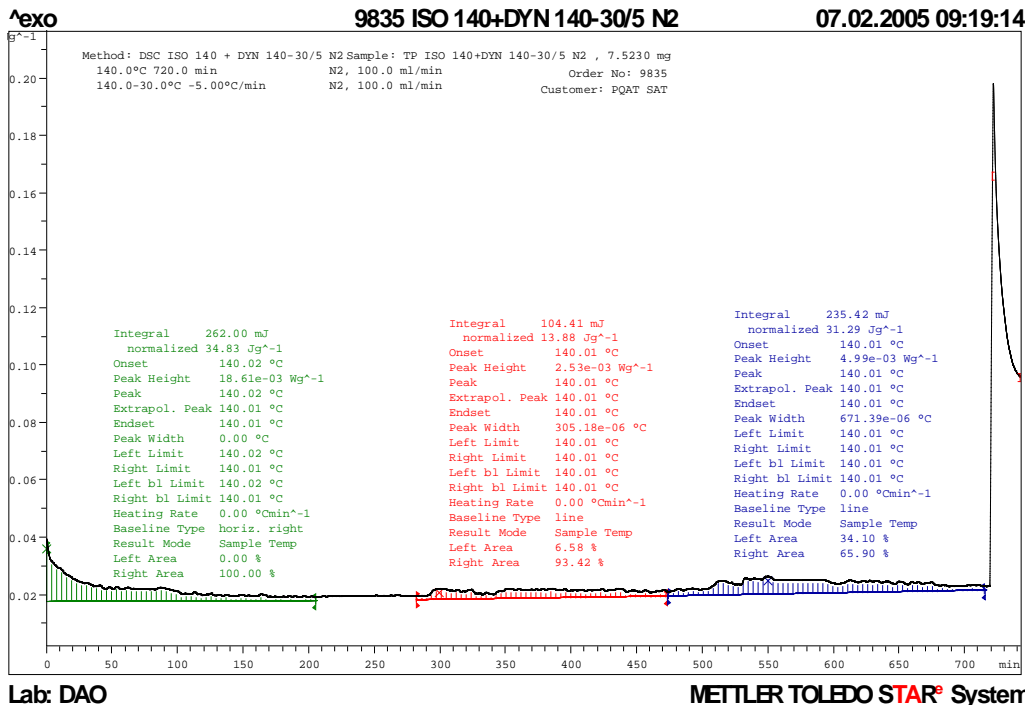
Lab: DAO **METTLER TOLEDO STAR[®] System**
 Registro 1.12.- Registro de DSC isotérmico diperoxido (5) y triperóxido (6),
 temperatura de trabajo 100°C duración del Registro 720min.



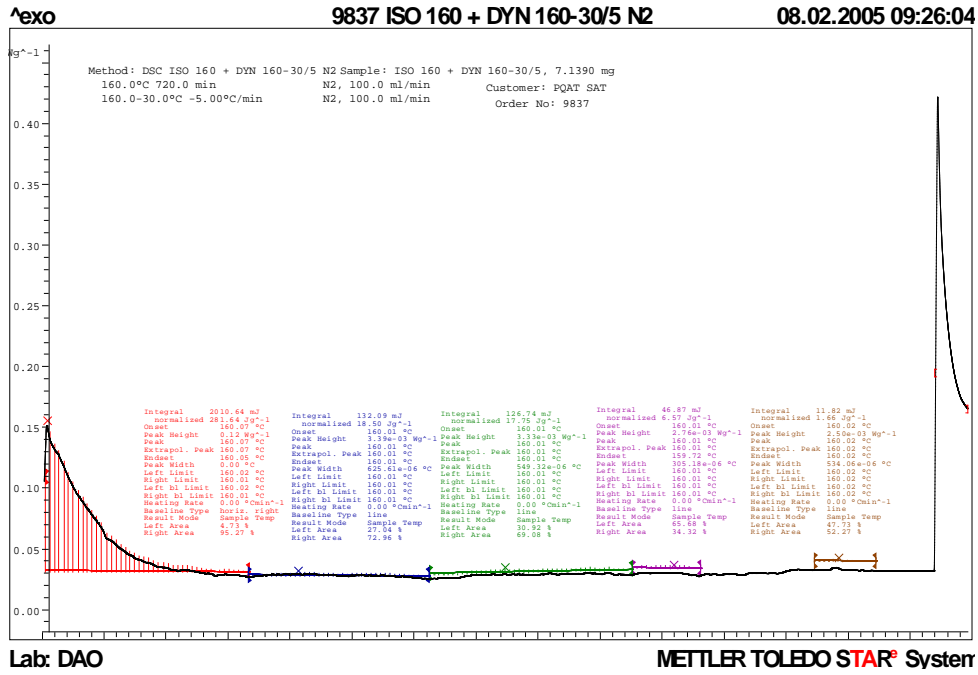
Lab: DAO **METTLER TOLEDO STAR[®] System**
 Registro 1.13.- Registro de DSC isotérmico diperoxido (5) y triperóxido (6),
 temperatura de trabajo 110°C duración del Registro 720min.



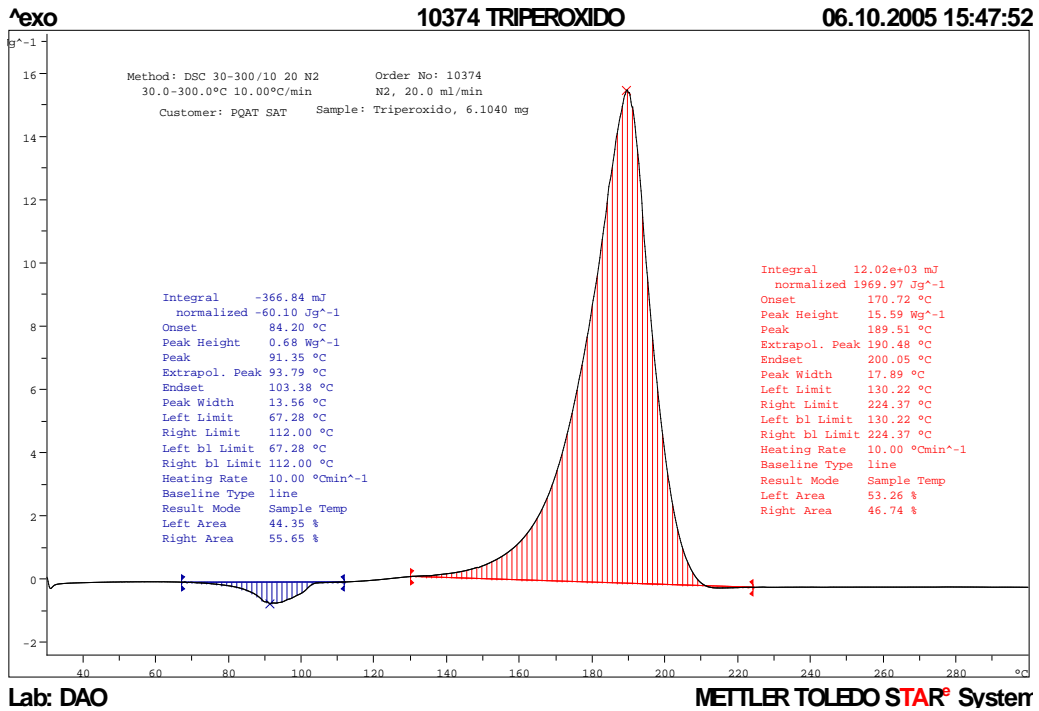
Registro 1.14.- Registro de DSC isotérmico diperoxido (5) y triperóxido (6), temperatura de trabajo 120°C duración del Registro 720min.



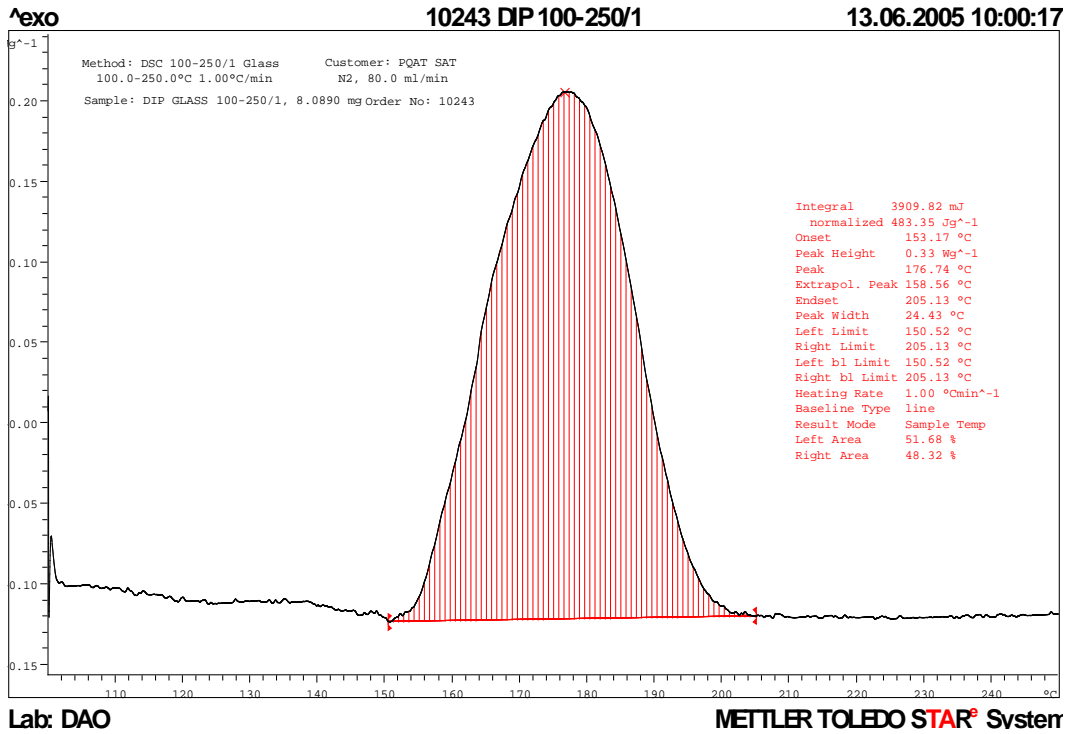
Registro 1.15.- Registro de DSC isotérmico diperoxido (5) y triperóxido (6), temperatura de trabajo 140°C duración del Registro 720min.



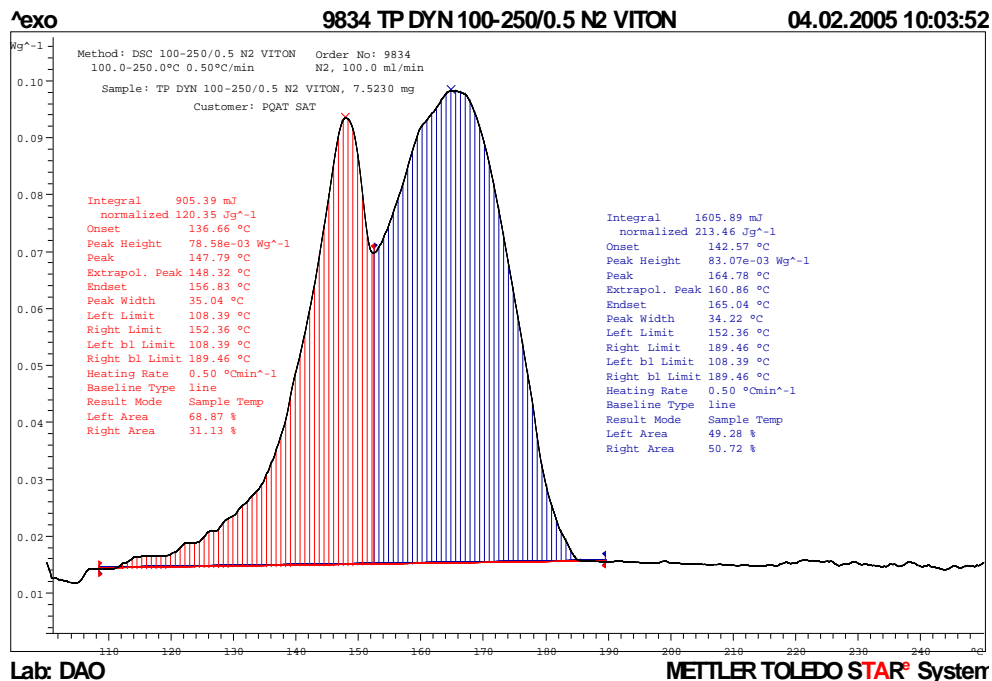
Registro 1.16.- Registro de DSC isotérmico diperoxido (5) y triperóxido (6), temperatura de trabajo 160°C duración del Registro 720min.



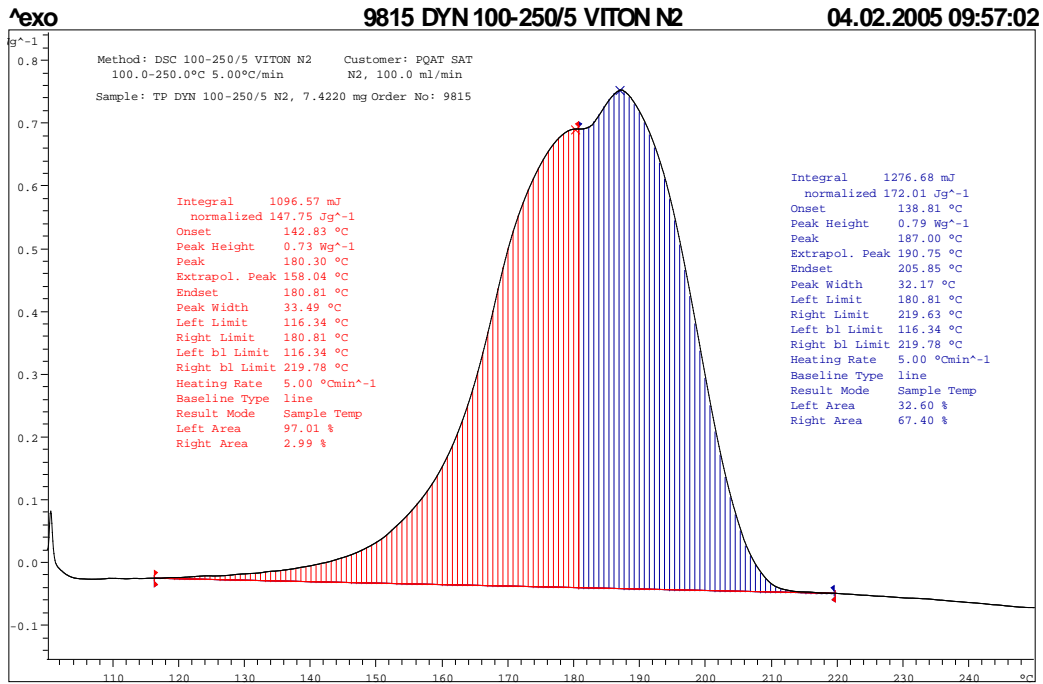
Registro 1.17.- Registro de DSC dinámico de sólido obtenido a partir del método de síntesis nº2, método 30-300°C velocidad de calentamiento 10°C/min en atmósfera de nitrógeno, caudal 20ml/min.



Registro 1.18.- Registro de DSC dinámico de sólido purificado obtenido a partir del método de síntesis n^o2, método 100-250°C velocidad de calentamiento 1°C/min en atmósfera de nitrógeno, caudal 20ml/min.



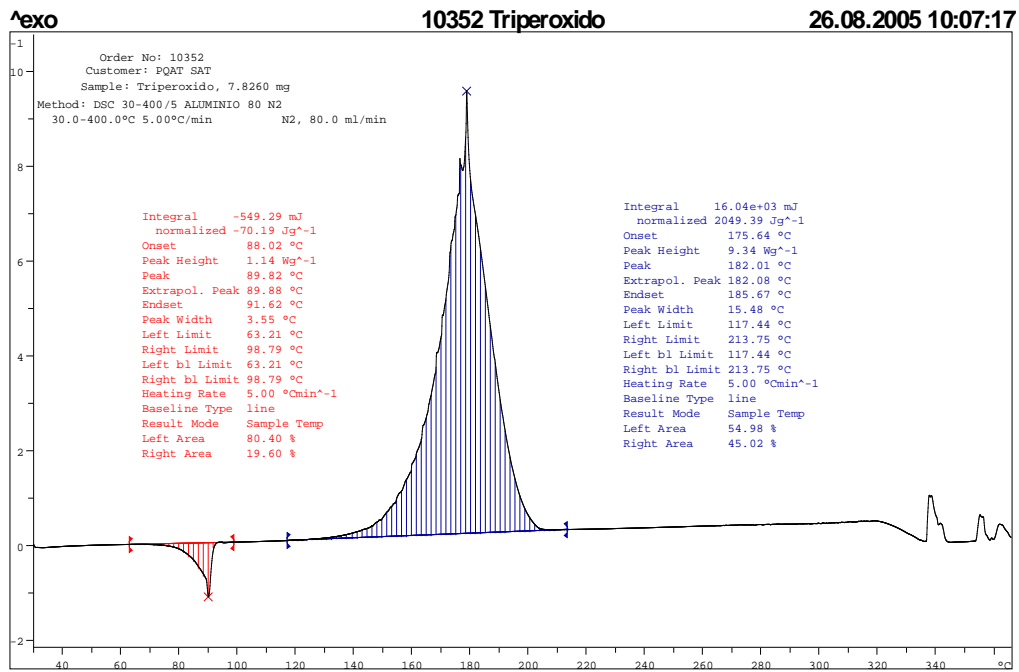
Registro 1.19.- Registro de DSC dinámico de sólido obtenido a partir del método de síntesis n^o2, método 100-250°C velocidad de calentamiento 0.5°C/min en atmósfera de nitrógeno, caudal 20ml/min.



Lab: DAO

METTLER TOLEDO STAR[®] Svsterr

Registro 1.20.- Registro de DSC dinámico de sólido obtenido a partir del método de síntesis n°2, método 100-250°C velocidad de calentamiento 5°C/min en atmósfera de nitrógeno, caudal 20ml/min.

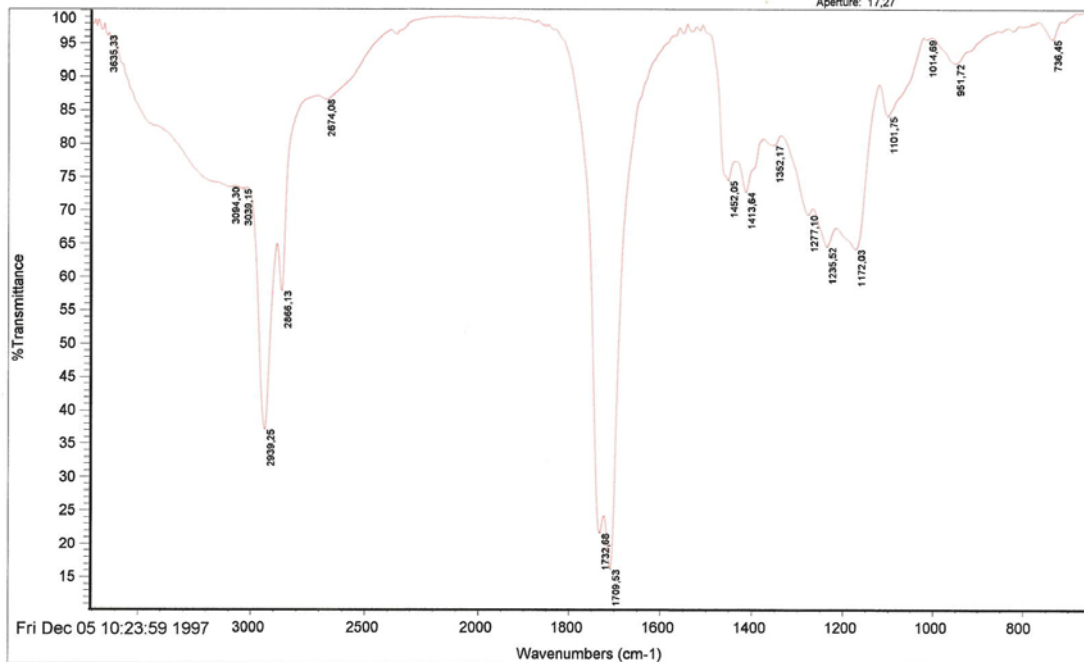


Lab: DAO

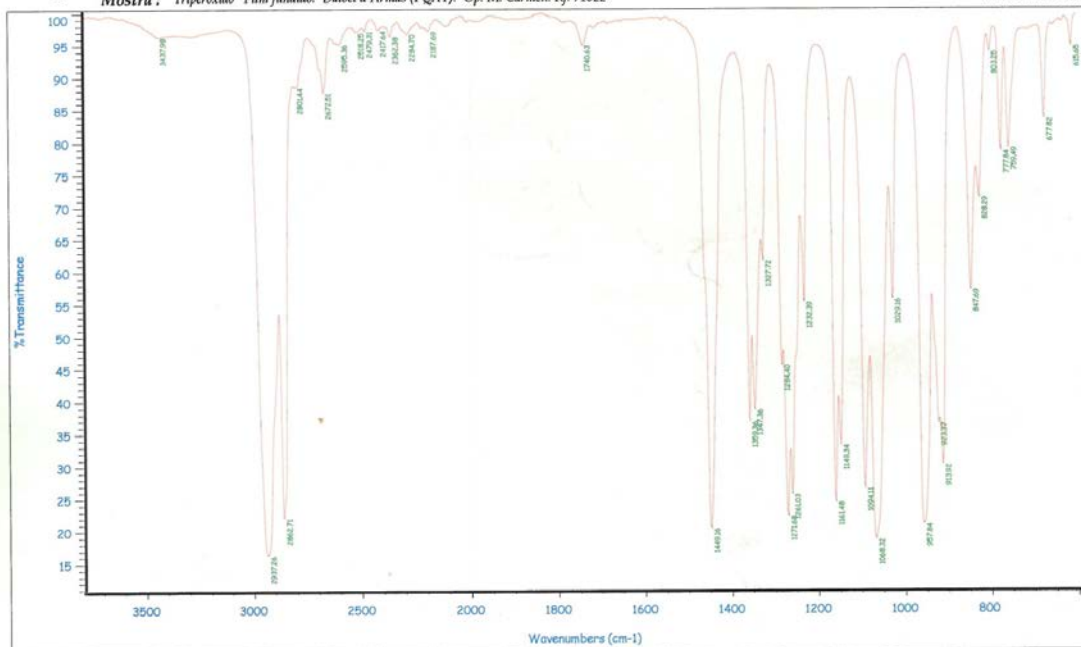
METTLER TOLEDO STAR[®] Svsterr

Registro 1.21.- Registro de DSC dinámico de sólido obtenido a partir del método de síntesis n°1, método 30-400°C velocidad de calentamiento 5°C/min en atmósfera de nitrógeno, caudal 20ml/min.

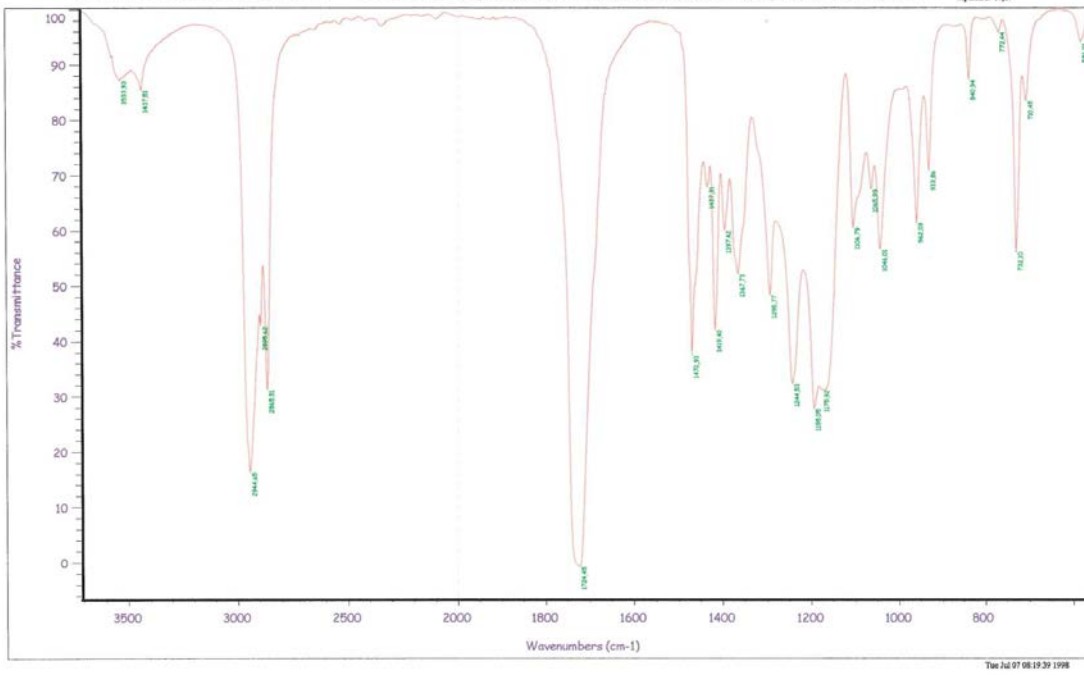
Anexo 2



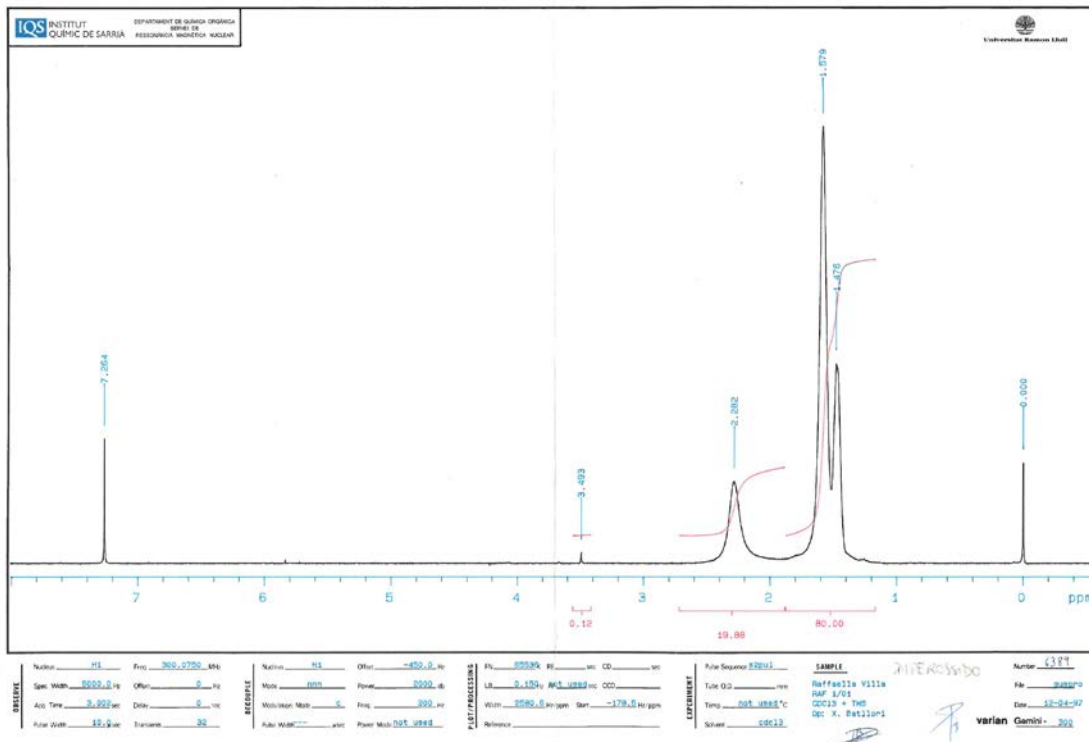
Registro 2.1.- Registro de IR del diperoxido (5)



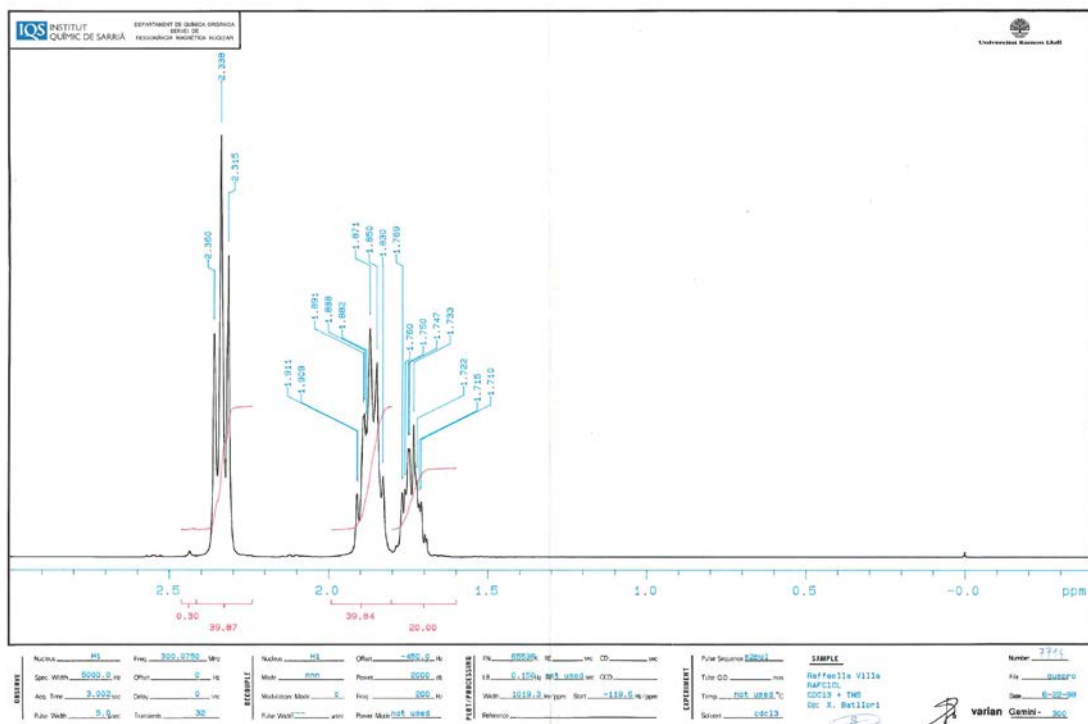
Registro 2.2.- Registro de IR del triperóxido (6)



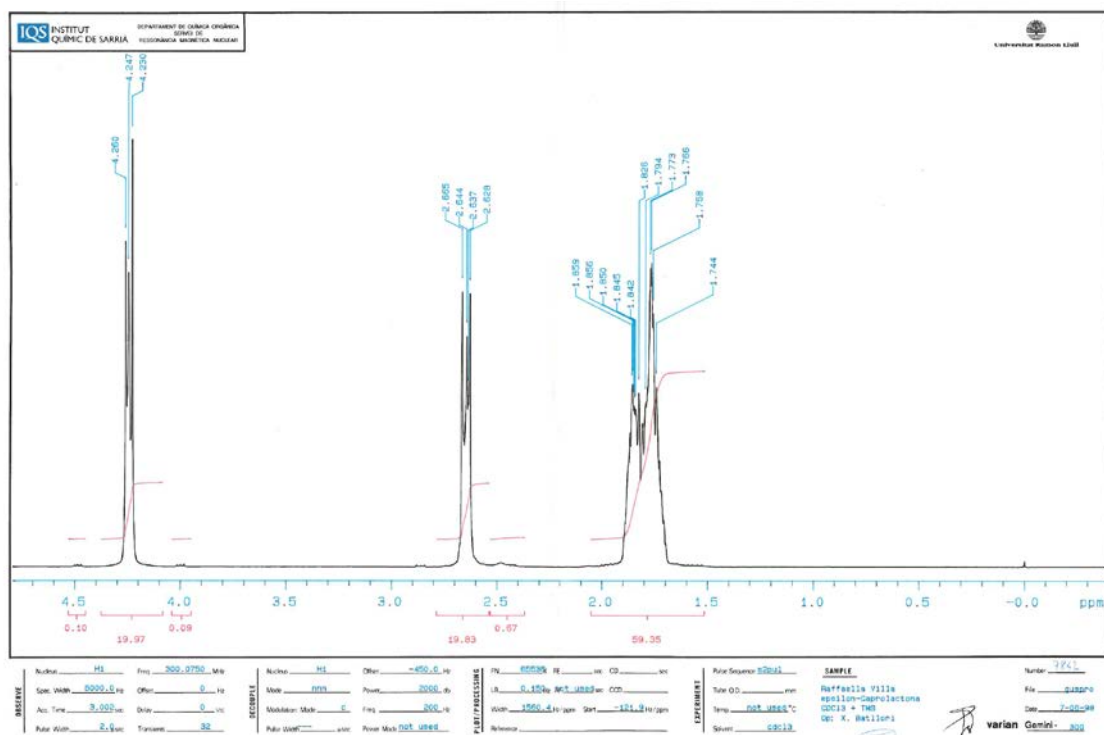
Registro 2.3.- Registro de IR de la ϵ -caprolactona (12).



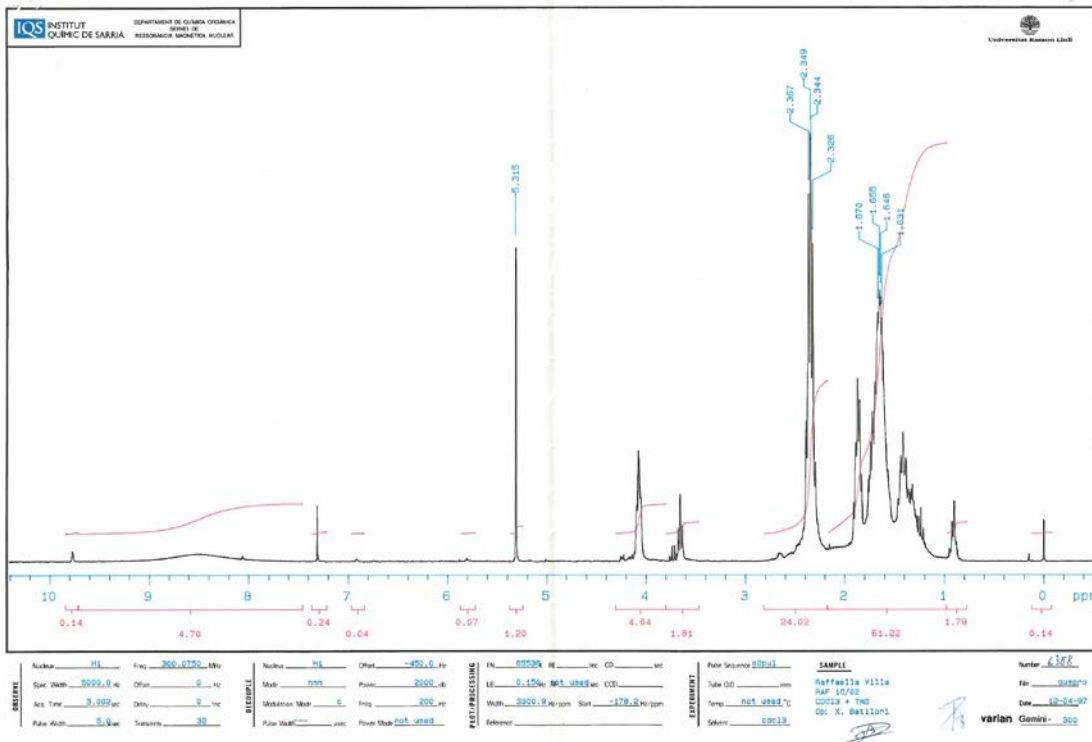
Registro 2.4.- Registro de RMN del diperoxido (5).



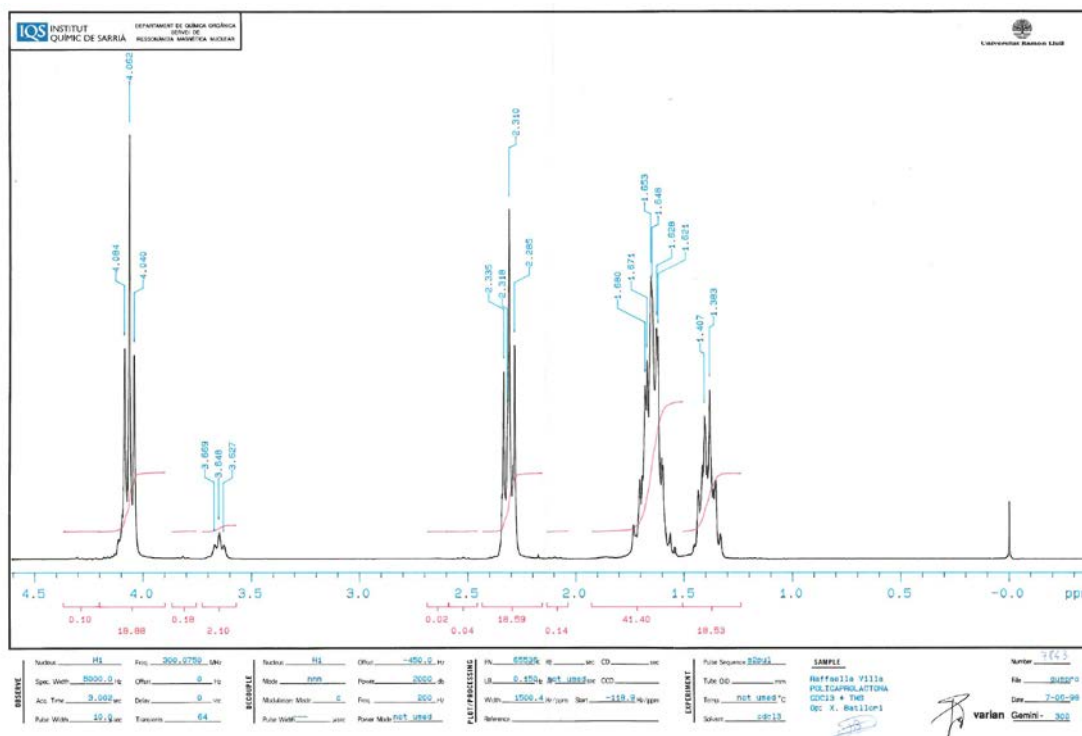
Registro 2.5.- Registro de RMN de la ciclohexanona (11).



Registro 2.6.- Registro de RMN de la ϵ -caprolactona (12).



Registro 2.7.- Registro de RMN del triperóxido (6).



Registro 2.8.- Registro de RMN de la ϵ -caprolactona (12).

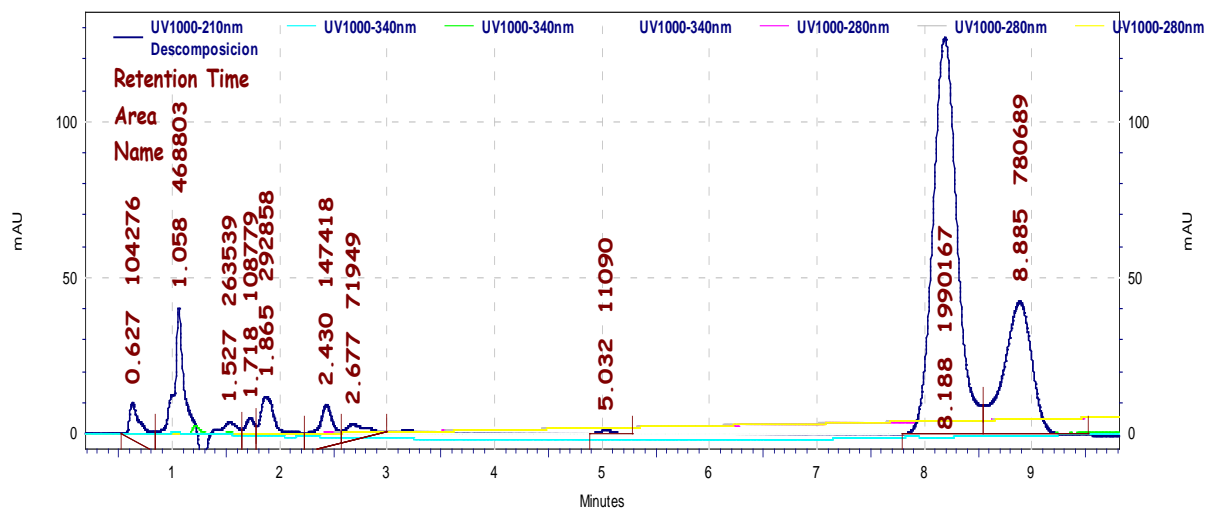


Figura. 2.9.- Registro HPLC (UV) de una muestra de triperóxido (6), a una longitud de onda de 210nm, caudal 1ml/min, fase móvil ACN:H₂O 90:10.

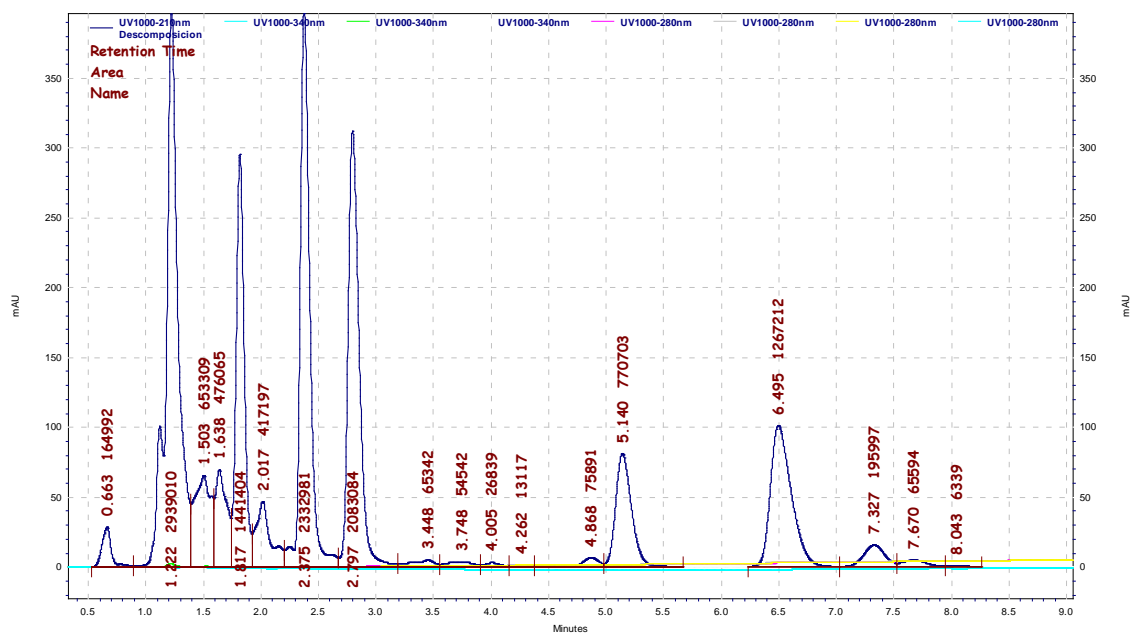


Figura. 2.10.- Registro HPLC - UV para la determinación del tiempo de retención de los patrones en la columna para una longitud de onda de 210nm, caudal 1ml/min fase móvil ACN:H₂O 90:10.

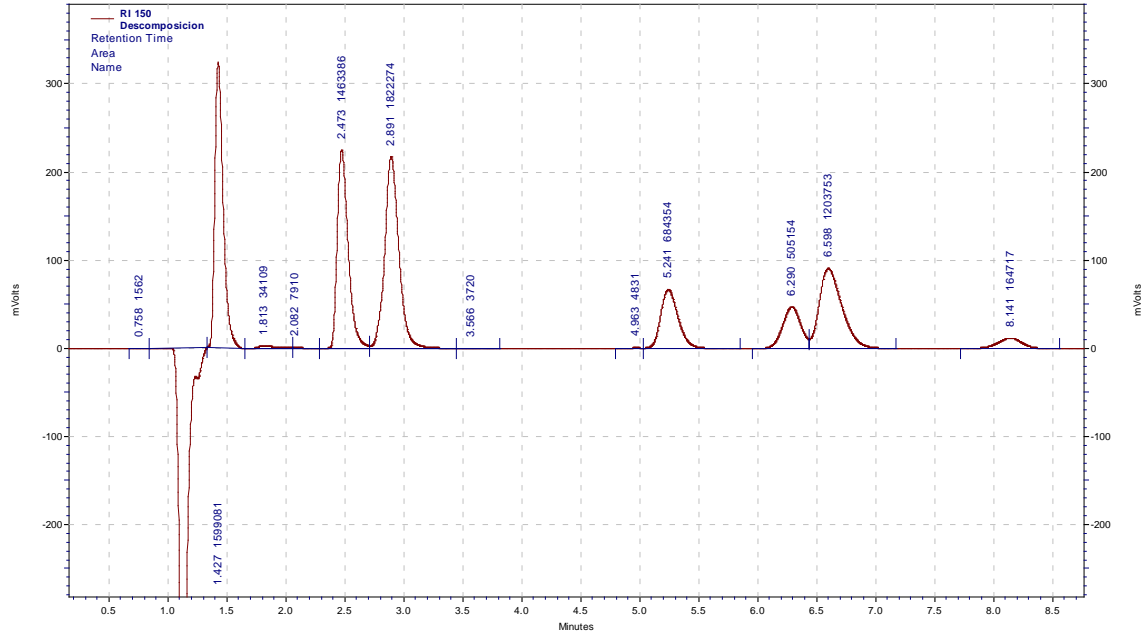


Figura. 2.11.- Registro HPLC - RI para la determinación del tiempo de retención de los patrones en la columna, caudal 1ml/min fase móvil ACN:H₂O 90:10.

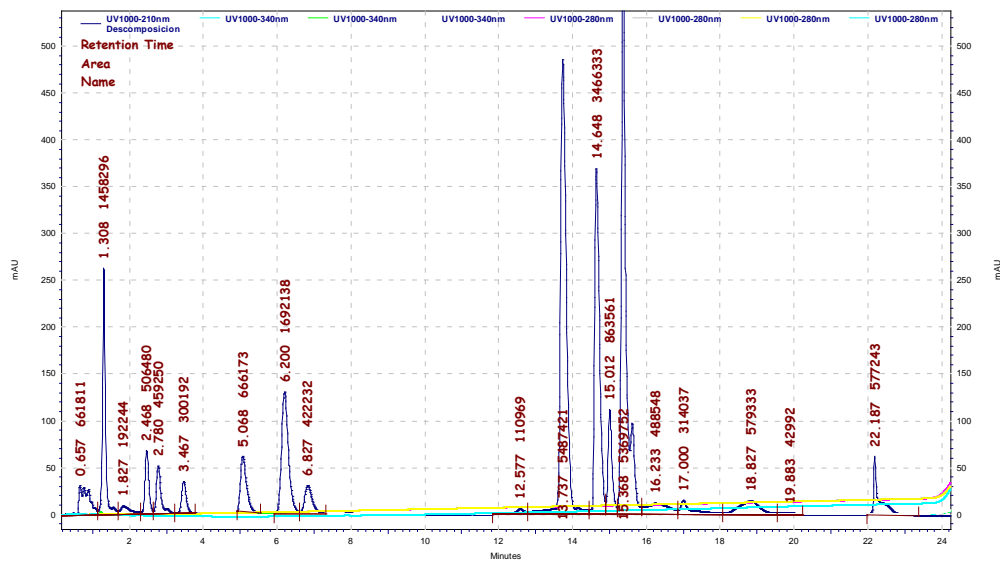


Figura. 2.12.- Registro HPLC en UV para la determinación del tiempo de retención de los patrones en la columna para una longitud de onda de 210nm, caudal 1ml/min fase móvil ACN:H₂O 70:30+100:0.

Anexo 3

Calibración de los detectores para la fase móvil 90:10 ACN:Agua

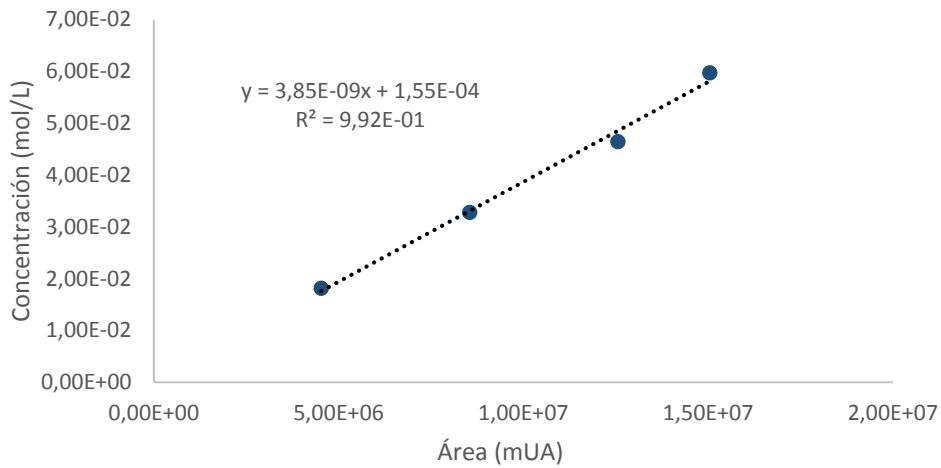


Gráfico 3.1.- Calibración del detector UV para el diperoxido (5).

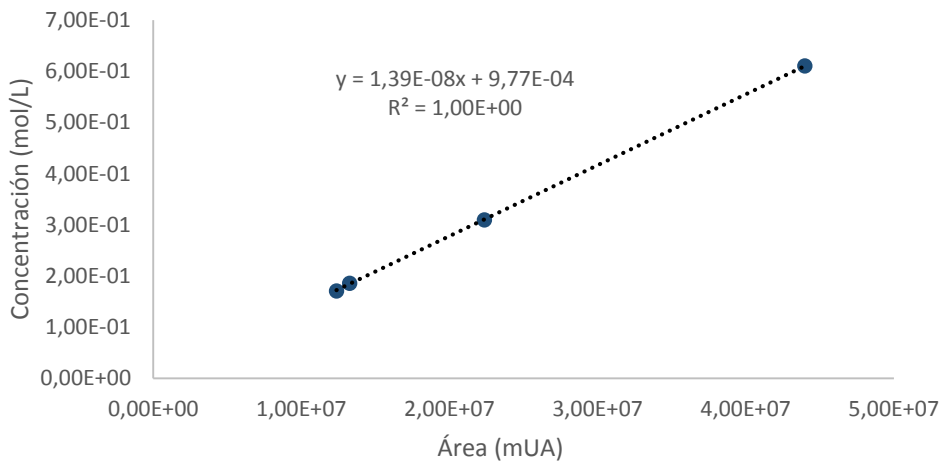


Gráfico 3.2.- Calibración del detector RI para diperoxido (5).

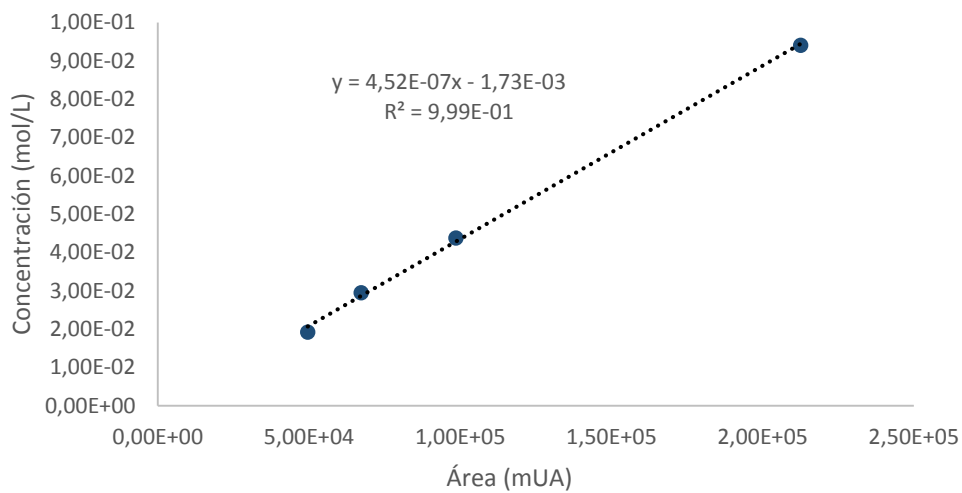


Gráfico 3.3.- Calibración del detector UV para Ciclohexanona (11).

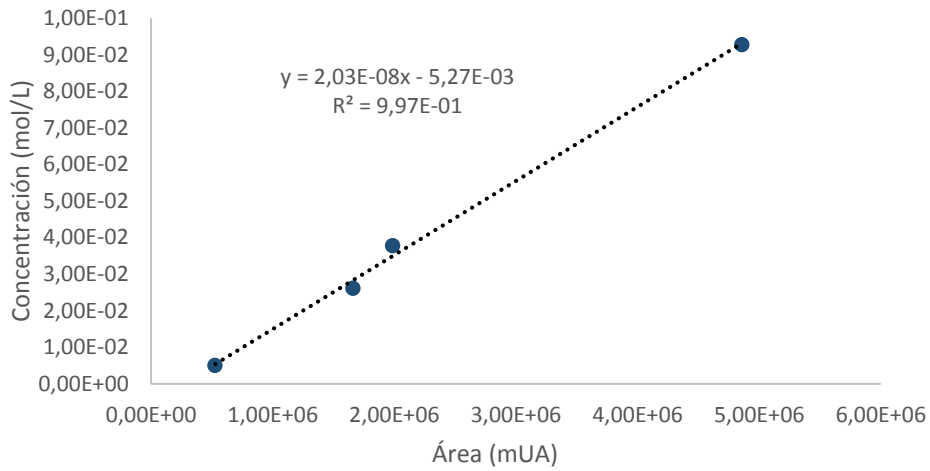


Gráfico 3.4.- Calibración del detector RI para Ciclohexanona (11).

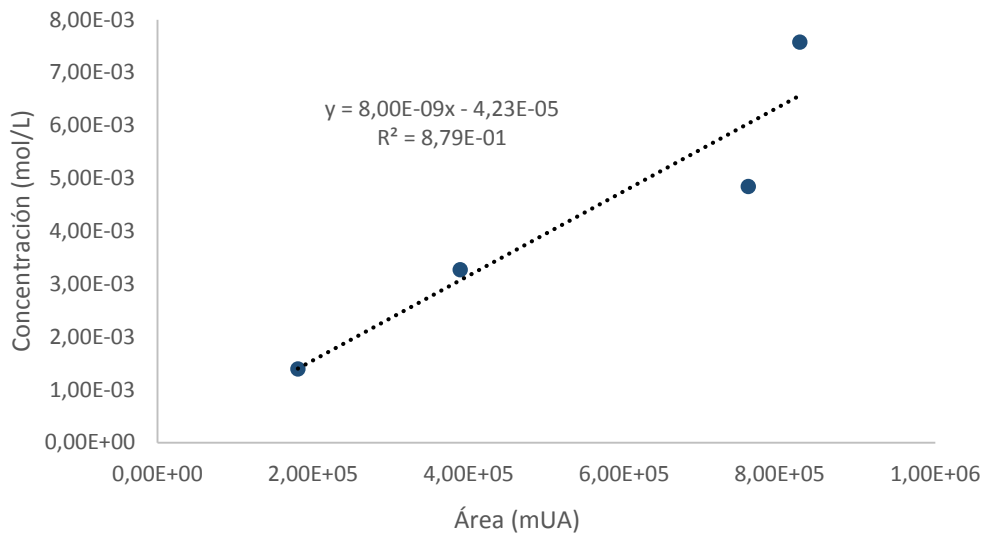


Gráfico 3.5.- Calibración del detector UV para 6-hexanolida (12).

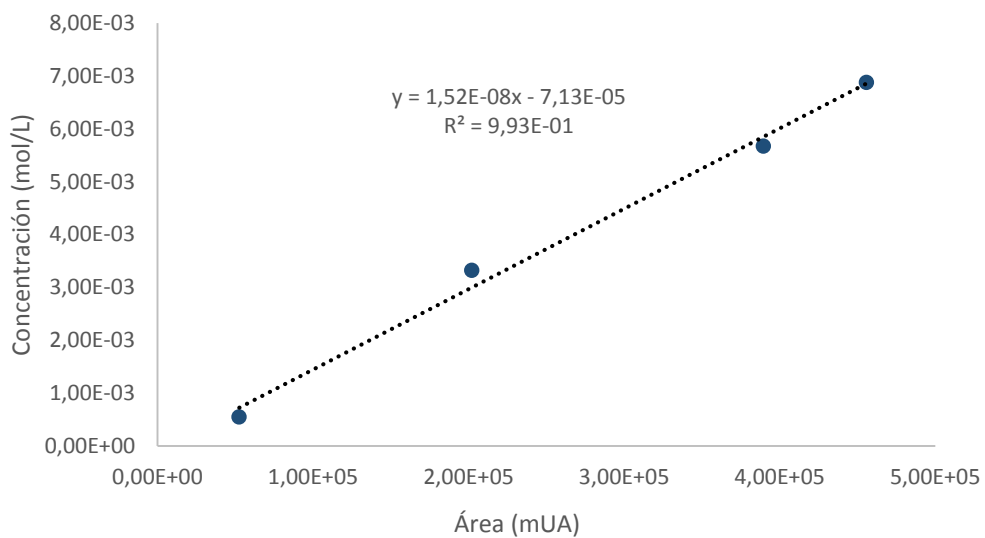


Gráfico 3.6.- Calibración del detector RI para 6-hexanolida (12).

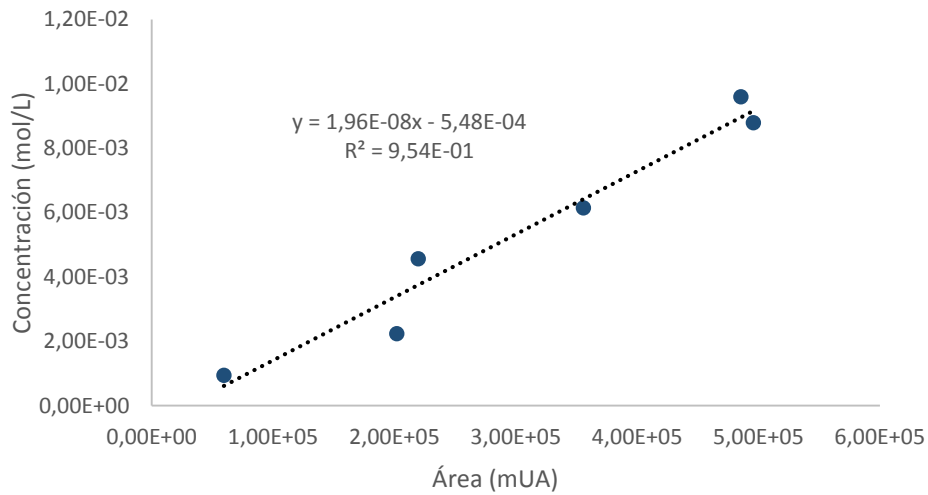


Gráfico 3.7.- Calibración del detector RI para Ciclododecano (16).

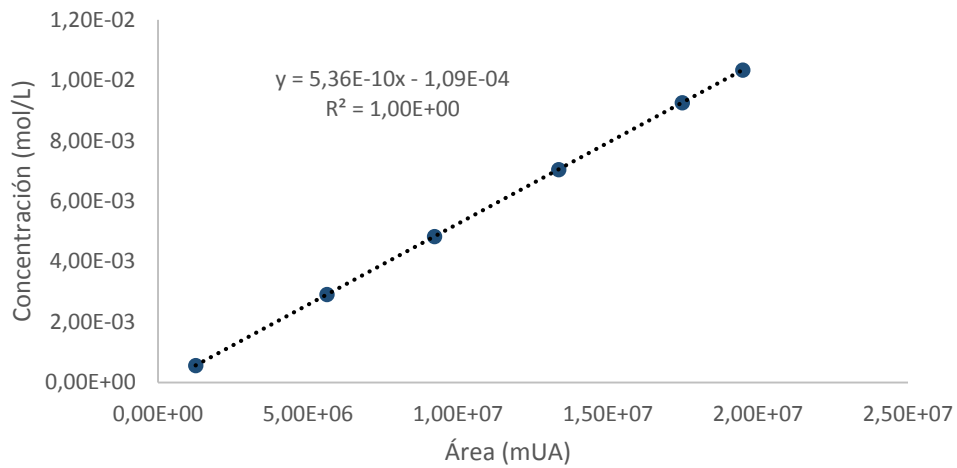


Gráfico 3.8.- Calibración del detector UV para triperóxido (6).

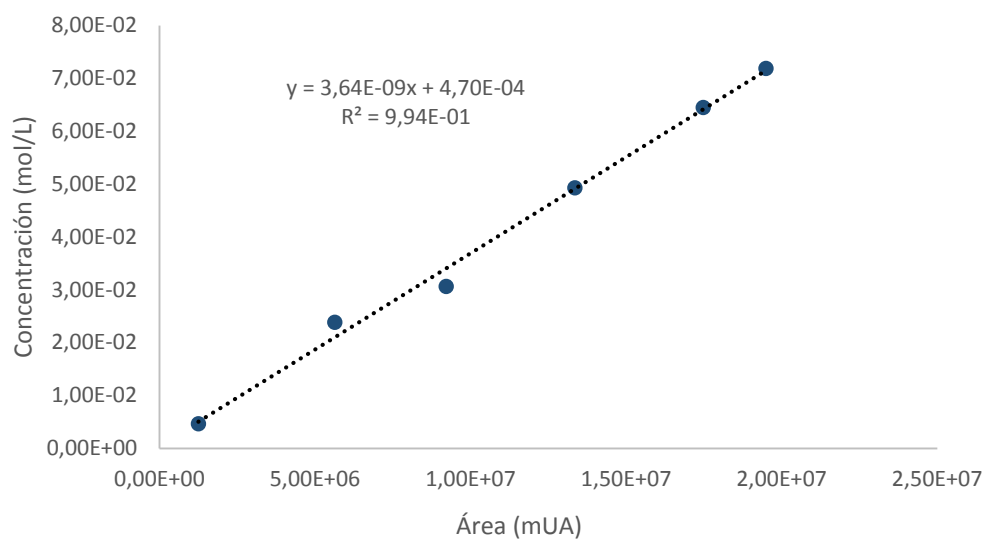


Gráfico 3.9.- Calibración del detector RI para triperóxido (6).

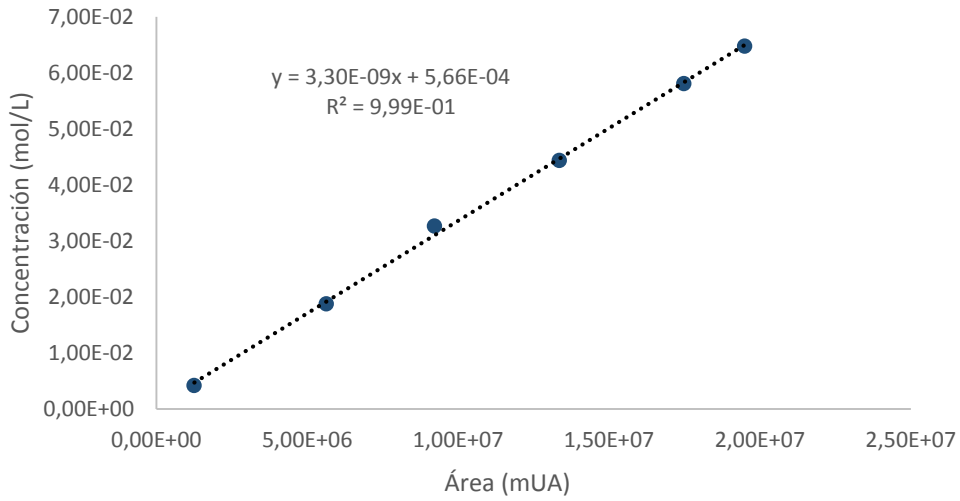


Gráfico 3.10.- Calibración del detector UV para 16-hexadecanolida (7).

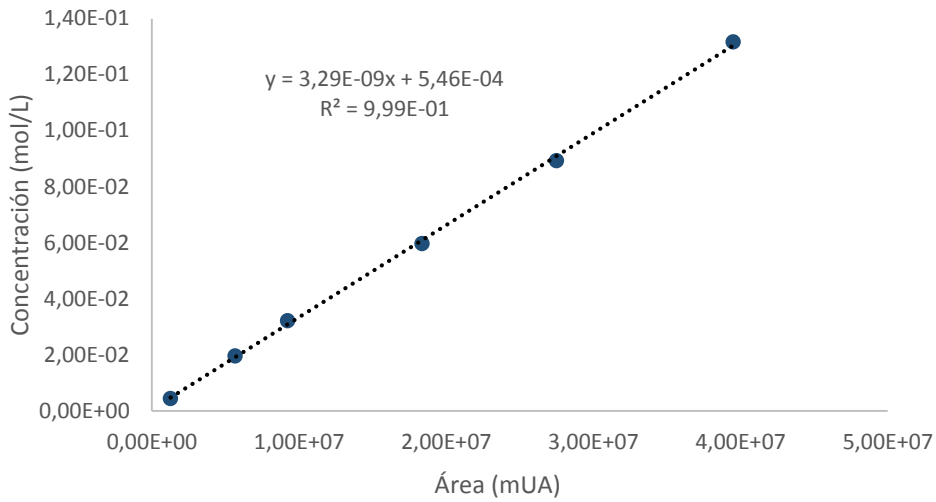


Gráfico 3.11.- Calibración del detector RI para 16-hexadecanolida (7).

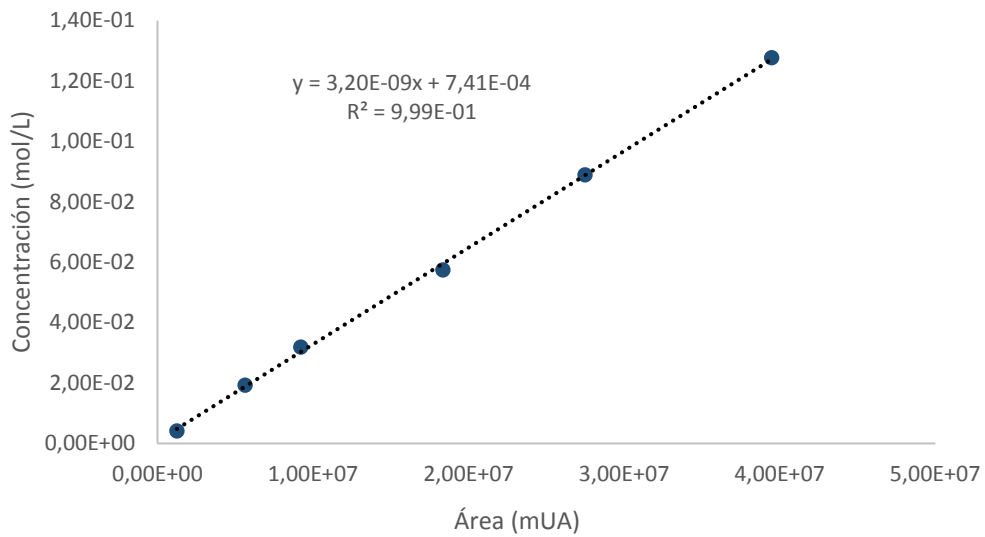


Gráfico 3.12.- Calibración del detector UV para 15-pentadecanolida (13).

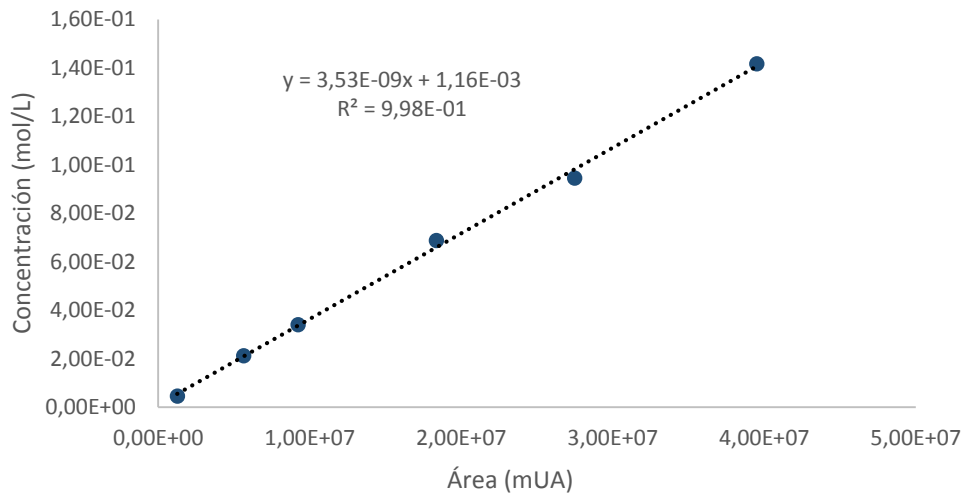


Gráfico 3.13.- Calibración del detector RI para 15-pentadecanolida (13).

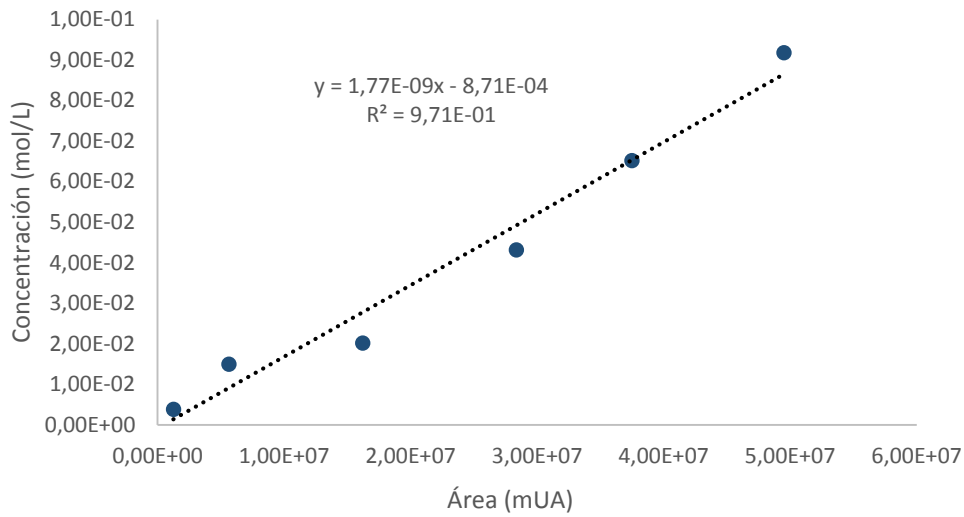


Gráfico 3.14.- Calibración del detector UV para 12-dodecanolida (15).

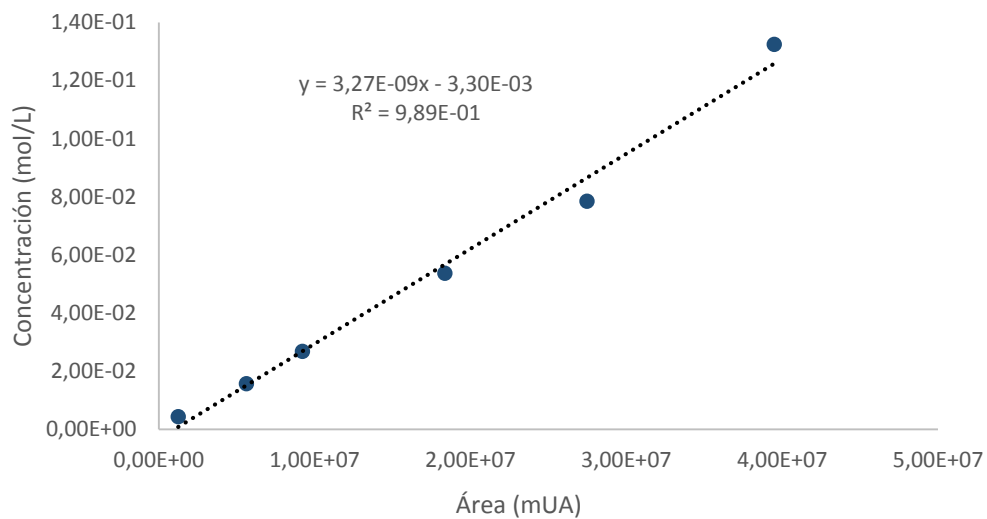


Gráfico 3.15.- Calibración del detector RI para 12-dodecanolida (15).

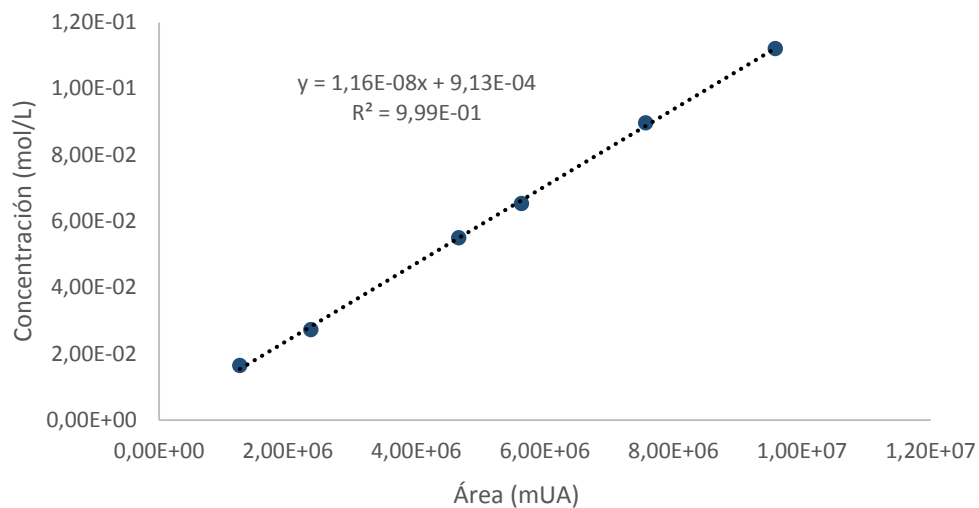


Gráfico 3.16.- Calibración del detector UV para 11-undecanolida (17).

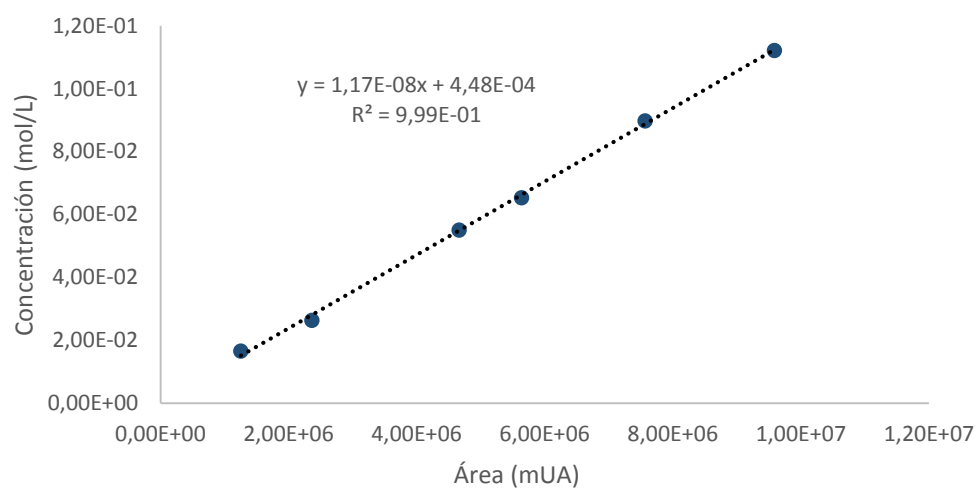


Gráfico 3.17.- Calibración del detector RI para 11-undecanolida (17).

Fase móvil 70:30

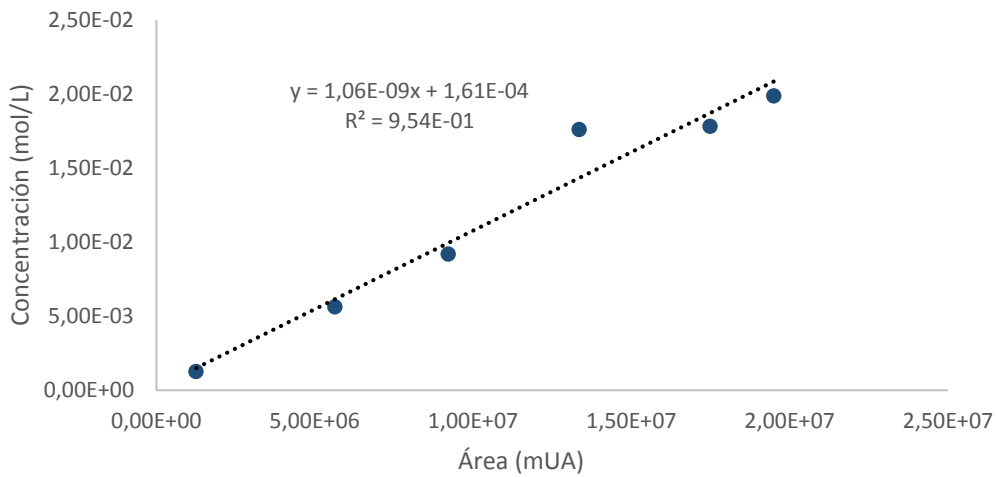


Gráfico 3.18.- Calibración del detector UV para triperóxido (6).

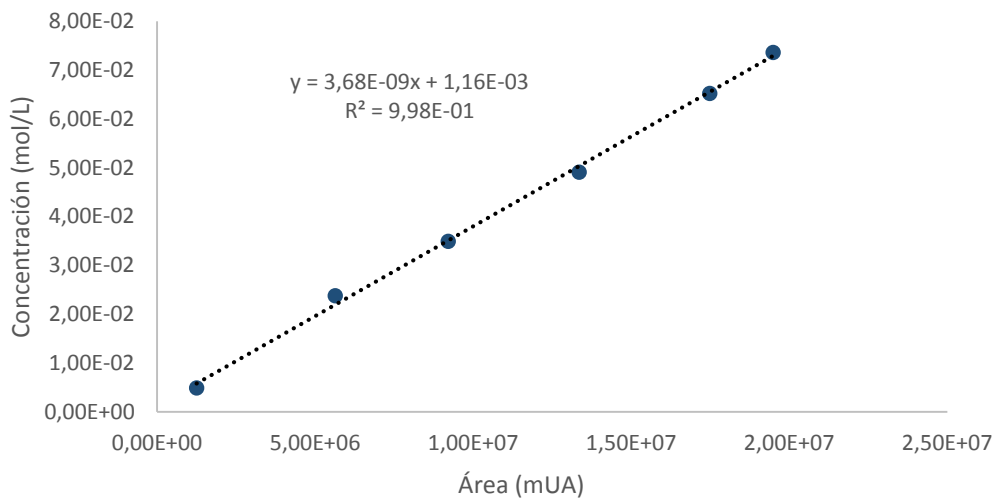


Gráfico 3.19.- Calibración del detector UV para diperóxido (5).

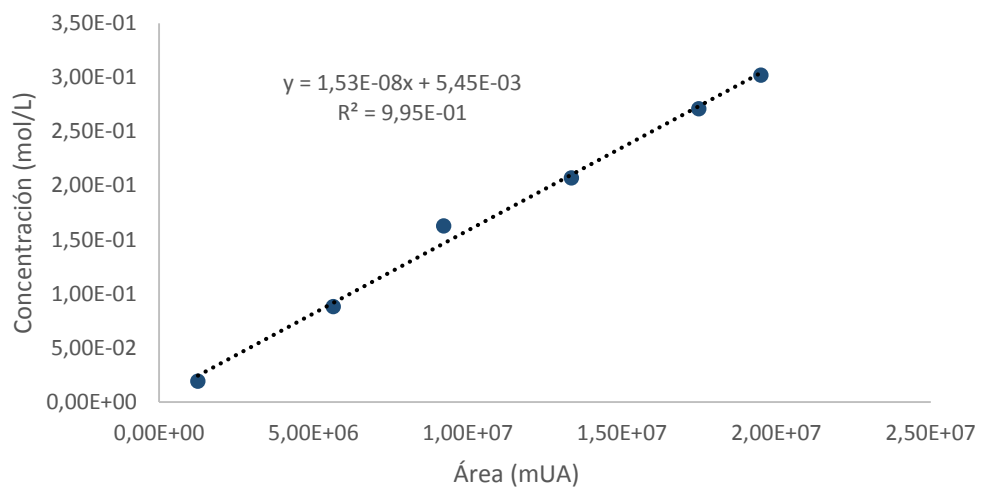


Gráfico 3.20.- Calibración del detector RI para diperóxido (5).

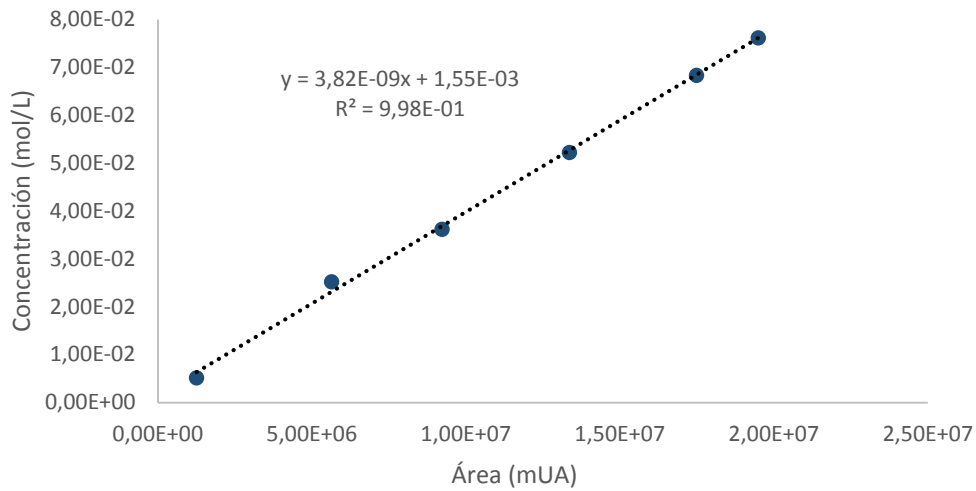


Gráfico 3.21.- Calibración del detector UV para 6-hexanolida (12).

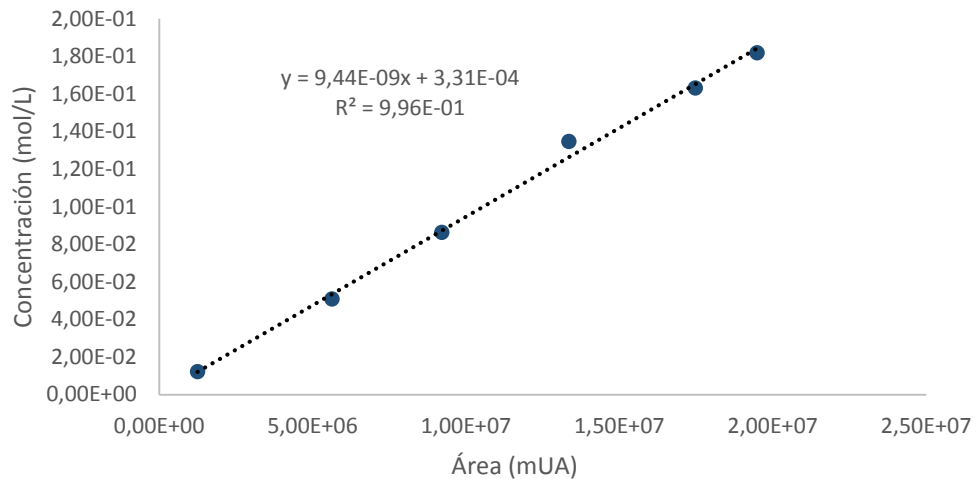


Gráfico 3.22.- Calibración del detector RI para 6-hexanolida (12).

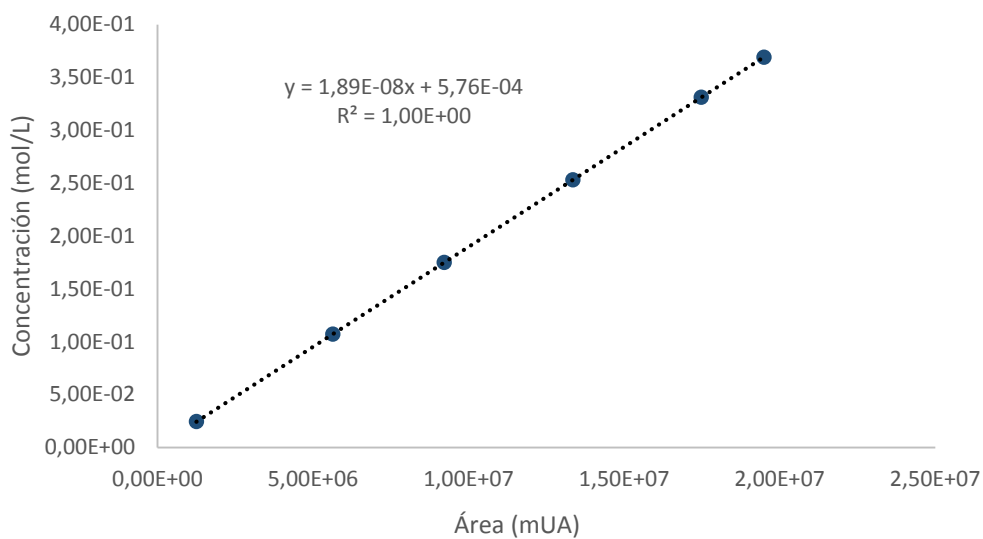


Gráfico 3.23.- Calibración del detector IR para Ciclododecano (16).

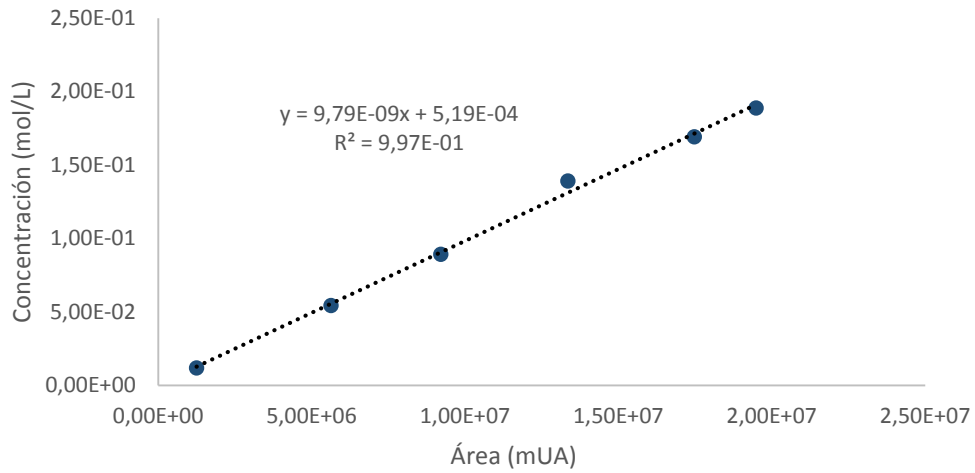


Gráfico 3.21.- Calibración del detector IR para 16-hexadecanolida (7).

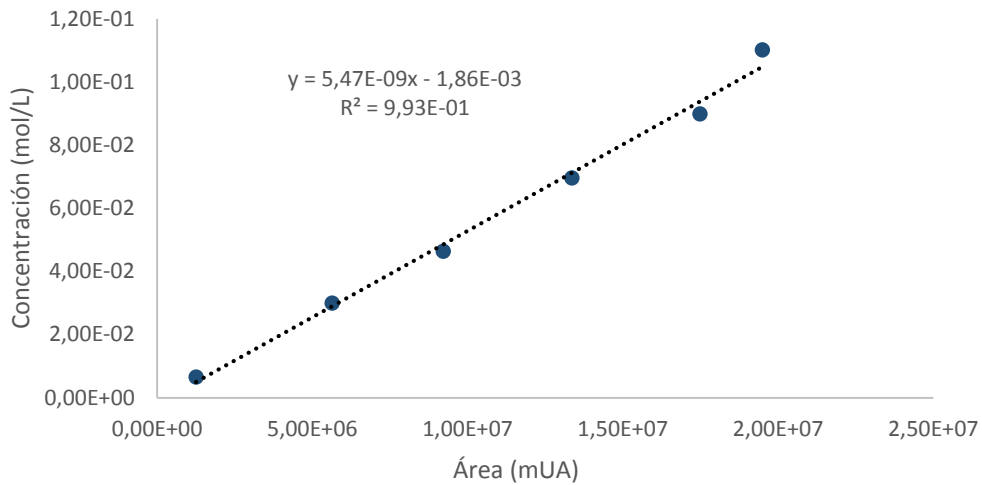


Gráfico 3.22.- Calibración del detector UV para 11-undecanolida (17).

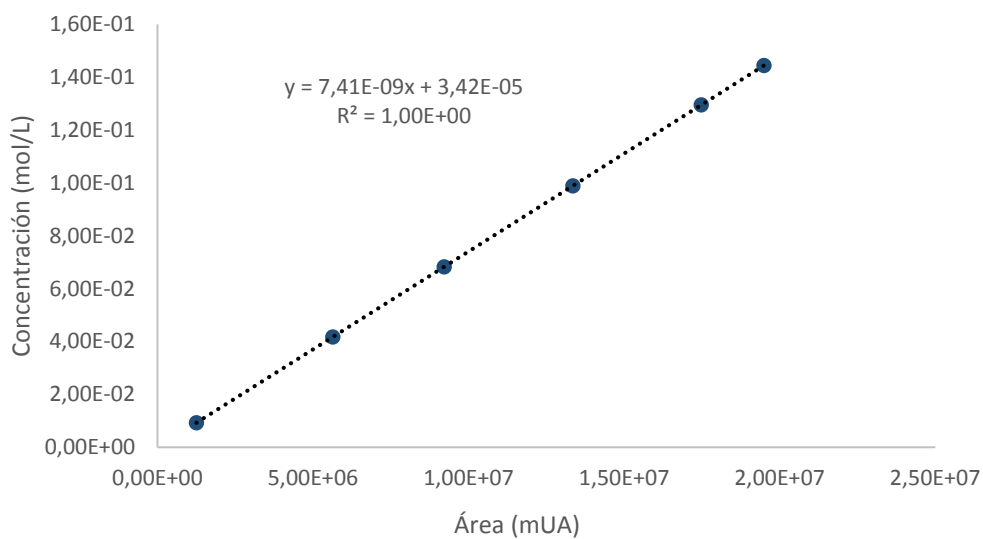


Gráfico 3.23.- Calibración del detector IR para 11-undecanolida (17).

Anexo 4

Tablas obtenidas de absorbancia para cada especie.

16-Hexadecanolida (7).

| Temperatura 135 °C | | | | | | |
|--------------------|---------|--------|---------|--------|---------|---------|
| | 2% p/p | | 4% p/p | | 6% p/p | |
| t/minutos | UV | IR | UV | IR | UV | IR |
| 0 | 27764 | 61705 | 48222 | 66892 | 167715 | 33425 |
| 30 | 201332 | 31930 | 242170 | 80704 | 57617 | 96784 |
| 90 | 0 | 0 | 0 | 0 | 0 | 0 |
| 120 | 78380 | 115148 | 154847 | 214741 | 111604 | 140120 |
| Temperatura 145 °C | | | | | | |
| | 2% p/p | | 4% p/p | | 6% p/p | |
| t/minutos | UV | IR | UV | IR | UV | IR |
| 0 | 35922 | 30383 | 230050 | 93075 | 80676 | 79586 |
| 30 | 0 | 0 | 197782 | 225500 | 219781 | 266036 |
| 90 | 162366 | 131913 | 314673 | 365860 | 397669 | 410567 |
| 120 | 204959 | 268591 | 429307 | 479495 | 111604 | 392033 |
| Temperatura 155 °C | | | | | | |
| | 2% p/p | | 4% p/p | | 6% p/p | |
| t/minutos | UV | IR | UV | IR | UV | IR |
| 0 | 0 | 0 | 210059 | 249865 | 404594 | 177925 |
| 30 | 863996 | 512877 | 227358 | 473038 | 690042 | 377889 |
| 90 | 686989 | 352915 | 578828 | 556992 | 1344235 | 982544 |
| 120 | 474276 | 502048 | 1125606 | 705111 | 1137863 | 1253448 |
| Temperatura 165 °C | | | | | | |
| | 2% p/p | | 4% p/p | | 6% p/p | |
| t/minutos | UV | IR | UV | IR | UV | IR |
| 0 | 228265 | 221560 | 629926 | 348752 | 690688 | 422162 |
| 30 | 676819 | 577978 | 633699 | 634469 | 1039271 | 891619 |
| 90 | 980929 | 781938 | 994581 | 781938 | 1672168 | 1122057 |
| 120 | 0 | 0 | 899890 | 538053 | 1383107 | 832332 |
| Temperatura 175 °C | | | | | | |
| | 2% p/p | | 4% p/p | | 6% p/p | |
| t/minutos | UV | IR | UV | IR | UV | IR |
| 0 | 324501 | 0 | 1352353 | 0 | 2039949 | 0 |
| 30 | 339478 | 0 | 1429951 | 0 | 1130616 | 0 |
| 90 | 390758 | 0 | 1359014 | 0 | 2623948 | 0 |
| 120 | 1050446 | 0 | 1089084 | 0 | 1797119 | 0 |

Tabla 4.1.- Valores experimentales de absorbancia para la 16-hexadecanolida (7), obtenidos a partir de las diferentes condiciones experimentales.

6-hexanolida (12).

| Temperatura | | 135 °C | | | | | |
|-------------|---------|--------|---------|---------|---------|---------|--|
| | | 2% p/p | | 4% p/p | | 6% p/p | |
| t/minutos | UV | IR | UV | IR | UV | IR | |
| 0 | 256413 | 141194 | 380526 | 203645 | 478636 | 300371 | |
| 30 | 619998 | 259214 | 708738 | 261308 | 528943 | 288245 | |
| 90 | 0 | 0 | 0 | 0 | 0 | 0 | |
| 120 | 863280 | 443580 | 883259 | 336201 | 941518 | 402573 | |
| Temperatura | | 145 °C | | | | | |
| | | 2% p/p | | 4% p/p | | 6% p/p | |
| t/minutos | UV | IR | UV | IR | UV | IR | |
| 0 | 428451 | 157197 | 474476 | 233084 | 494464 | 337200 | |
| 30 | 0 | 0 | 604482 | 381710 | 730745 | 542573 | |
| 90 | 541087 | 333891 | 823479 | 532673 | 722239 | 640495 | |
| 120 | 660192 | 385286 | 1199050 | 742968 | 4260443 | 298224 | |
| Temperatura | | 155 °C | | | | | |
| | | 2% p/p | | 4% p/p | | 6% p/p | |
| t/minutos | UV | IR | UV | IR | UV | IR | |
| 0 | 0 | 0 | 527263 | 372070 | 567283 | 473538 | |
| 30 | 1045486 | 914583 | 626405 | 282722 | 615778 | 620805 | |
| 90 | 851388 | 573207 | 807311 | 995644 | 2181696 | 1318612 | |
| 120 | 1242379 | 686051 | 1318389 | 1149760 | 1614290 | 997769 | |
| Temperatura | | 165 °C | | | | | |
| | | 2% p/p | | 4% p/p | | 6% p/p | |
| t/minutos | UV | IR | UV | IR | UV | IR | |
| 0 | 505030 | 266492 | 658627 | 506053 | 716527 | 643454 | |
| 30 | 1092231 | 421563 | 1098920 | 808743 | 1180230 | 1233189 | |
| 90 | 988695 | 908603 | 998665 | 908603 | 1271268 | 1283431 | |
| 120 | 0 | 0 | 998763 | 848126 | 1207679 | 933388 | |
| Temperatura | | 175 °C | | | | | |
| | | 2% p/p | | 4% p/p | | 6% p/p | |
| t/minutos | UV | IR | UV | IR | UV | IR | |
| 0 | 1639436 | 347204 | 3009278 | 708472 | 3529863 | 1046819 | |
| 30 | 1589556 | 300137 | 2098538 | 358844 | 3004402 | 901044 | |
| 90 | 1997976 | 319559 | 2570411 | 656411 | 2880482 | 665951 | |
| 120 | 1804799 | 262555 | 1591703 | 417472 | 2399183 | 641863 | |

Tabla 4.2.- Valores experimentales de absorbancia 6-hexanolida, obtenidos a partir de las diferentes condiciones experimentales (12).

Ciclohexanona (11).

| Temperatura | | 135 °C | | | | | |
|-------------|---------|--------|---------|--------|---------|--------|--|
| | | 2% p/p | | 4% p/p | | 6% p/p | |
| t/minutos | UV | IR | UV | IR | UV | IR | |
| 0 | 6833 | 7110 | 76223 | 39587 | 106942 | 19749 | |
| 30 | 116372 | 9864 | 149756 | 75947 | 116967 | 24478 | |
| 90 | 0 | 0 | 0 | 0 | 0 | 0 | |
| 120 | 142095 | 50287 | 185378 | 92711 | 192975 | 42245 | |
| Temperatura | | 145 °C | | | | | |
| | | 2% p/p | | 4% p/p | | 6% p/p | |
| t/minutos | UV | IR | UV | IR | UV | IR | |
| 0 | 151247 | 10195 | 108028 | 243359 | 95349 | 26454 | |
| 30 | 0 | 0 | 155985 | 79092 | 169434 | 138374 | |
| 90 | 193867 | 111466 | 259690 | 128831 | 292040 | 124468 | |
| 120 | 533272 | 141239 | 876860 | 153226 | 941518 | 263697 | |
| Temperatura | | 155 °C | | | | | |
| | | 2% p/p | | 4% p/p | | 6% p/p | |
| t/minutos | UV | IR | UV | IR | UV | IR | |
| 0 | 0 | 0 | 113047 | 48118 | 160406 | 69137 | |
| 30 | 398426 | 185326 | 377177 | 289970 | 710660 | 130545 | |
| 90 | 790692 | 153719 | 1015848 | 342475 | 1281063 | 157515 | |
| 120 | 935576 | 151104 | 1417543 | 231151 | 1772740 | 319776 | |
| Temperatura | | 165 °C | | | | | |
| | | 2% p/p | | 4% p/p | | 6% p/p | |
| t/minutos | UV | IR | UV | IR | UV | IR | |
| 0 | 288154 | 56309 | 265355 | 60217 | 468872 | 102318 | |
| 30 | 578204 | 280224 | 772971 | 133554 | 834806 | 191872 | |
| 90 | 860815 | 153876 | 860815 | 153876 | 1042979 | 218063 | |
| 120 | 0 | 0 | 978712 | 232561 | 1067640 | 188213 | |
| Temperatura | | 175 °C | | | | | |
| | | 2% p/p | | 4% p/p | | 6% p/p | |
| t/minutos | UV | IR | UV | IR | UV | IR | |
| 0 | 264470 | 54306 | 663661 | 97396 | 645290 | 109011 | |
| 30 | 400591 | 50557 | 588619 | 69835 | 682184 | 108040 | |
| 90 | 740906 | 80028 | 1037573 | 58282 | 1525849 | 11082 | |
| 120 | 1508134 | 169384 | 615347 | 117420 | 568584 | 137254 | |

Tabla 4.3.- Valores experimentales de absorbancia ciclohexanona (11),
obtenidos a partir de las diferentes condiciones experimentales.

11-undecanolida (17).

| Temperatura | | 135 °C | | | | | |
|-------------|---------|--------|---------|---------|---------|---------|--|
| | | 2% p/p | | 4% p/p | | 6% p/p | |
| t/minutos | UV | IR | UV | IR | UV | IR | |
| 0 | 195827 | 63418 | 468396 | 148826 | 620043 | 117114 | |
| 30 | 405379 | 355575 | 581968 | 117808 | 551723 | 112385 | |
| 90 | 0 | 0 | 0 | 0 | 0 | 0 | |
| 120 | 321868 | 57702 | 547400 | 111595 | 57690 | 128559 | |
| Temperatura | | 145 °C | | | | | |
| | | 2% p/p | | 4% p/p | | 6% p/p | |
| t/minutos | UV | IR | UV | IR | UV | IR | |
| 0 | 233355 | 178323 | 599211 | 128722 | 628760 | 150910 | |
| 30 | 0 | 0 | 560587 | 182784 | 594525 | 232975 | |
| 90 | 439706 | 83288 | 661177 | 125604 | 840690 | 156615 | |
| 120 | 357891 | 142797 | 594490 | 188701 | 0 | 0 | |
| Temperatura | | 155 °C | | | | | |
| | | 2% p/p | | 4% p/p | | 6% p/p | |
| t/minutos | UV | IR | UV | IR | UV | IR | |
| 0 | 0 | 0 | 393611 | 141921 | 711320 | 194607 | |
| 30 | 808217 | 309427 | 450659 | 161575 | 632028 | 243537 | |
| 90 | 439902 | 270706 | 500021 | 502173 | 830903 | 462225 | |
| 120 | 441043 | 366541 | 614668 | 454649 | 811801 | 146321 | |
| Temperatura | | 165 °C | | | | | |
| | | 2% p/p | | 4% p/p | | 6% p/p | |
| t/minutos | UV | IR | UV | IR | UV | IR | |
| 0 | 368009 | 131730 | 589035 | 90468 | 727557 | 222000 | |
| 30 | 495830 | 212302 | 665912 | 172316 | 959336 | 204930 | |
| 90 | 726551 | 226211 | 472266 | 226211 | 1011682 | 247879 | |
| 120 | 0 | 0 | 363353 | 272959 | 507434 | 278552 | |
| Temperatura | | 175 °C | | | | | |
| | | 2% p/p | | 4% p/p | | 6% p/p | |
| t/minutos | UV | IR | UV | IR | UV | IR | |
| 0 | 624516 | 488537 | 2092626 | 1127276 | 2438679 | 1403461 | |
| 30 | 778184 | 553267 | 2135735 | 1166130 | 1908611 | 1287709 | |
| 90 | 1102213 | 611307 | 2416791 | 1339087 | 2564989 | 1120743 | |
| 120 | 1551932 | 476180 | 1836897 | 1184236 | 2118286 | 1275272 | |

Tabla 4.4.- Valores experimentales de absorbancia 11-undecanolida (17),
obtenidos a partir de las diferentes condiciones experimentales.

12-dodecanolida (15).

| Temperatura | | 135 °C | | | | | |
|-------------|---------|--------|--------|--------|---------|---------|--|
| | | 2% p/p | | 4% p/p | | 6% p/p | |
| t/minutos | UV | IR | UV | IR | UV | IR | |
| 0 | 37039 | 0 | 134206 | 526297 | 253918 | 705591 | |
| 30 | 285347 | 0 | 244188 | 436397 | 258947 | 701664 | |
| 90 | 0 | 0 | 0 | 0 | 0 | 0 | |
| 120 | 278240 | 193058 | 353378 | 342061 | 343997 | 664605 | |
| Temperatura | | 145 °C | | | | | |
| | | 2% p/p | | 4% p/p | | 6% p/p | |
| t/minutos | UV | IR | UV | IR | UV | IR | |
| 0 | 14496 | 407303 | 270723 | 379280 | 31179 | 867240 | |
| 30 | 0 | 0 | 72113 | 616117 | 40522 | 40058 | |
| 90 | 220942 | 293369 | 301022 | 373877 | 324444 | 771118 | |
| 120 | 268908 | 487302 | 399984 | 197940 | 654673 | 115859 | |
| Temperatura | | 155 °C | | | | | |
| | | 2% p/p | | 4% p/p | | 6% p/p | |
| t/minutos | UV | IR | UV | IR | UV | IR | |
| 0 | 0 | 0 | 394186 | 636743 | 464286 | 1002501 | |
| 30 | 141667 | 861164 | 423757 | 0 | 254674 | 572485 | |
| 90 | 151016 | 255388 | 433508 | 388954 | 594905 | 29605 | |
| 120 | 541923 | 21373 | 602758 | 363419 | 617538 | 24140 | |
| Temperatura | | 165 °C | | | | | |
| | | 2% p/p | | 4% p/p | | 6% p/p | |
| t/minutos | UV | IR | UV | IR | UV | IR | |
| 0 | 51572 | 373147 | 315638 | 532029 | 116112 | 990568 | |
| 30 | 531450 | 137035 | 610589 | 343346 | 624273 | 782581 | |
| 90 | 736122 | 333095 | 736122 | 333095 | 810817 | 665669 | |
| 120 | 0 | 0 | 386430 | 290657 | 381363 | 343243 | |
| Temperatura | | 175 °C | | | | | |
| | | 2% p/p | | 4% p/p | | 6% p/p | |
| t/minutos | UV | IR | UV | IR | UV | IR | |
| 0 | 282627 | 116016 | 578030 | 195002 | 1008923 | 374729 | |
| 30 | 370314 | 115667 | 848543 | 210119 | 932902 | 351948 | |
| 90 | 593684 | 286925 | 972060 | 241076 | 1348854 | 286925 | |
| 120 | 1197961 | 73373 | 631416 | 195767 | 952345 | 318722 | |

Tabla 4.5.- Valores experimentales de absorbancia 12-dodecanolida (15),
obtenidos a partir de las diferentes condiciones experimentales.

Diperóxido (5).

| Temperatura | | 135 °C | | | | | |
|-------------|---------|--------|---------|--------|---------|---------|--|
| | | 2% p/p | | 4% p/p | | 6% p/p | |
| t/minutos | UV | IR | UV | IR | UV | IR | |
| 0 | 103220 | 63418 | 517497 | 78650 | 620043 | 49173 | |
| 30 | 466594 | 29551 | 668747 | 68616 | 567950 | 80269 | |
| 90 | 0 | 0 | 0 | 0 | 0 | 0 | |
| 120 | 568335 | 92942 | 938000 | 179077 | 654673 | 115859 | |
| Temperatura | | 145 °C | | | | | |
| | | 2% p/p | | 4% p/p | | 6% p/p | |
| t/minutos | UV | IR | UV | IR | UV | IR | |
| 0 | 176755 | 125416 | 554313 | 27542 | 304170 | 75836 | |
| 30 | 0 | 0 | 757026 | 136767 | 755359 | 174542 | |
| 90 | 753975 | 185734 | 1177181 | 386799 | 1450349 | 339318 | |
| 120 | 961452 | 70285 | 1594955 | 530718 | 576970 | 128555 | |
| Temperatura | | 155 °C | | | | | |
| | | 2% p/p | | 4% p/p | | 6% p/p | |
| t/minutos | UV | IR | UV | IR | UV | IR | |
| 0 | 0 | 0 | 516817 | 108198 | 816555 | 127699 | |
| 30 | 1576134 | 517782 | 308637 | 204170 | 1244382 | 413806 | |
| 90 | 1338764 | 412097 | 1566933 | 786575 | 2543082 | 1635744 | |
| 120 | 1687085 | 685774 | 2155948 | 868996 | 3760228 | 1576239 | |
| Temperatura | | 165 °C | | | | | |
| | | 2% p/p | | 4% p/p | | 6% p/p | |
| t/minutos | UV | IR | UV | IR | UV | IR | |
| 0 | 594753 | 115737 | 1001292 | 296545 | 1179391 | 222000 | |
| 30 | 1137231 | 368635 | 1689069 | 676257 | 2400318 | 850167 | |
| 90 | 1451292 | 714125 | 1451292 | 714125 | 2934057 | 1106090 | |
| 120 | 0 | 0 | 1897232 | 296672 | 2505338 | 760433 | |
| Temperatura | | 175 °C | | | | | |
| | | 2% p/p | | 4% p/p | | 6% p/p | |
| t/minutos | UV | IR | UV | IR | UV | IR | |
| 0 | 2759521 | 609201 | 1241378 | 213085 | 2655191 | 528578 | |
| 30 | 829449 | 178670 | 560717 | 79498 | 625936 | 168914 | |
| 90 | 226789 | 30976 | 192442 | 47790 | 0 | 0 | |
| 120 | 0 | 0 | 0 | 0 | 0 | 0 | |

Tabla 4.6.- Valores experimentales de absorbancia de diperóxido (5), obtenidos a partir de las diferentes condiciones experimentales.

Triperóxido (6)

| Temperatura | 135 °C | | |
|-------------|----------|----------|----------|
| | 2% p/p | 4% p/p | 6% p/p |
| t/minutos | UV | UV | UV |
| 0 | 25550243 | 57099114 | 79451928 |
| 30 | 26360180 | 51517423 | 70746386 |
| 90 | 0 | 0 | 0 |
| 120 | 23911049 | 52692446 | 67560196 |
| Temperatura | 145 °C | | |
| | 2% p/p | 4% p/p | 6% p/p |
| t/minutos | UV | UV | UV |
| 0 | 25550243 | 57183872 | 82088029 |
| 30 | 0 | 46748226 | 62093922 |
| 90 | 22925646 | 39457285 | 59276664 |
| 120 | 18494087 | 33058528 | 67560196 |
| Temperatura | 155 °C | | |
| | 2% p/p | 4% p/p | 6% p/p |
| t/minutos | UV | UV | UV |
| 0 | 0 | 41883051 | 70110487 |
| 30 | 46064713 | 19148973 | 30930284 |
| 90 | 12710745 | 19754980 | 28646237 |
| 120 | 4904167 | 12602325 | 12299082 |
| Temperatura | 165 °C | | |
| | 2% p/p | 4% p/p | 6% p/p |
| t/minutos | UV | UV | UV |
| 0 | 11361782 | 36182640 | 54295096 |
| 30 | 7864377 | 14573619 | 29597691 |
| 90 | 4420494 | 4420484 | 12030343 |
| 120 | 0 | 713628 | 1256746 |
| Temperatura | 175 °C | | |
| | 2% p/p | 4% p/p | 6% p/p |
| t/minutos | UV | UV | UV |
| 0 | 3211928 | 2979365 | 4587442 |
| 30 | 1107582 | 3906046 | 2853608 |
| 90 | 1327460 | 2324097 | 6710755 |
| 120 | 0 | 2382821 | 3962845 |

Tabla 4.7.- Valores experimentales de absorbancia triperóxido (6), obtenidos a partir de las diferentes condiciones experimentales.